

Capítulo 3

O Espectro contínuo de luz

- 3.1 Paralaxe estelar
- 3.2 A escala de magnitudes
- 3.3 A natureza ondulatória da luz
- 3.4 Radiação de corpo-negro**
- 3.5 Quantização de energia**
- 3.6 O índice de cor**



3.4 Radiação de Corpo-Negro

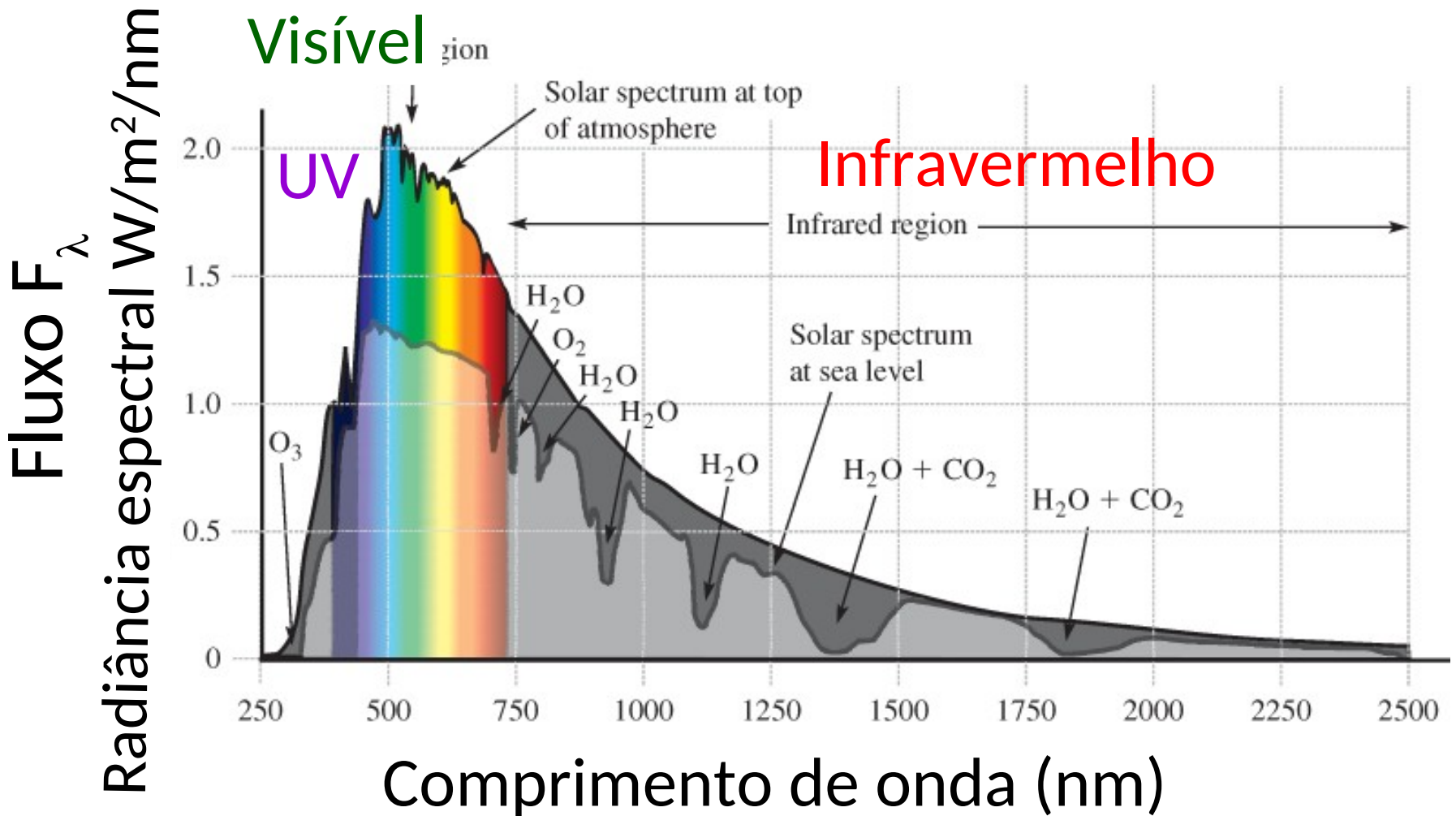
Em Orion identifica-se a estrela **fria** avermelhada (Betelgeuse - α Ori) e a estrela **quente** azulada (Rigel - β Ori).

A cor depende da temperatura superficial da estrela



Observações: **Betelgeuse** ($T \sim 3600\text{K}$) e **Rigel** ($T \sim 13000\text{K}$)

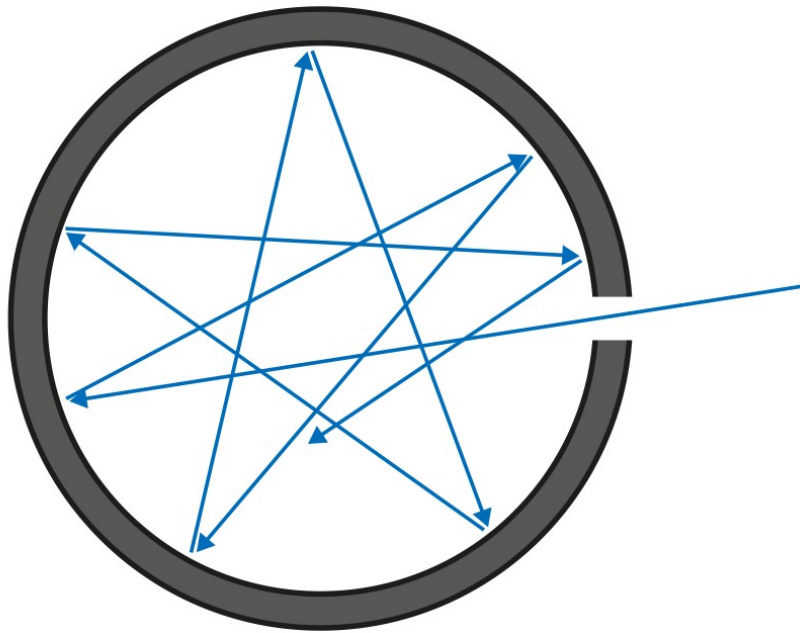
Temperatura & Cor: o Sol



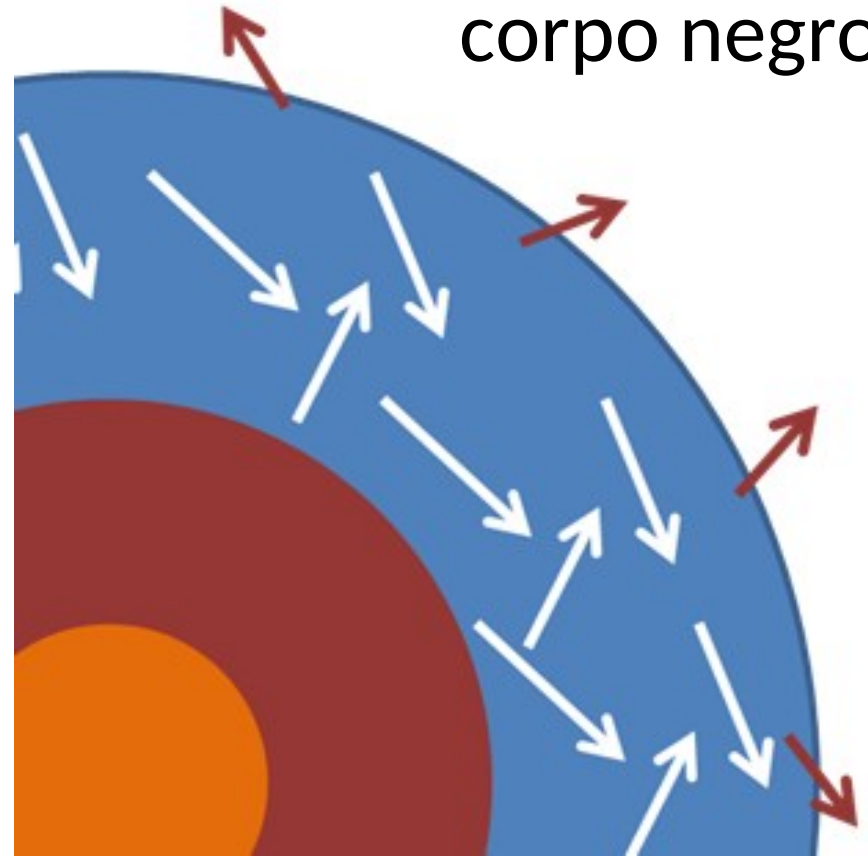
Observando a radiação do Sol notamos que o pico se encontra no visível e que emite muito mais no infravermelho do que no UV

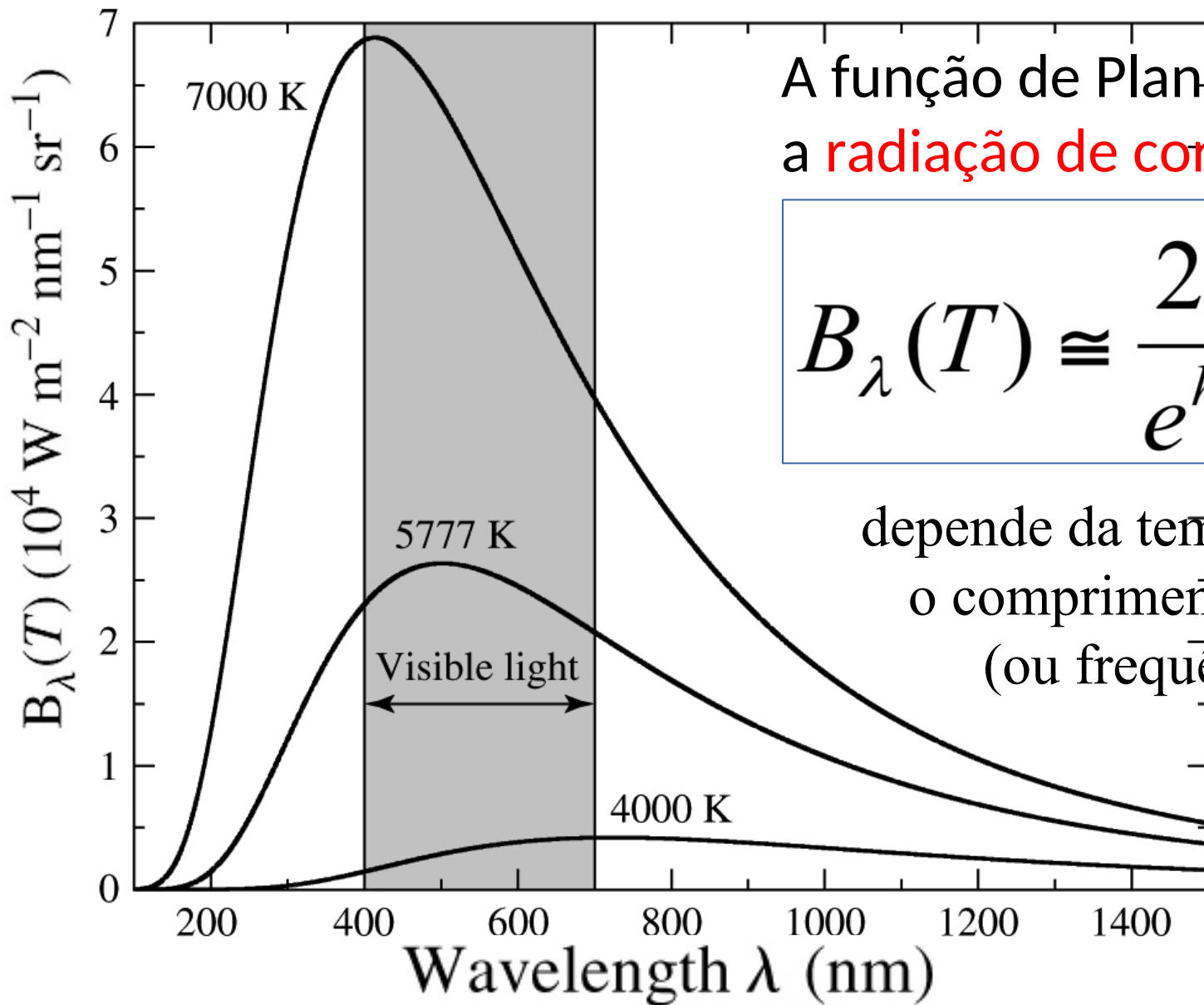
Corpo negro:

Corpo que absorve toda radiação incidente. Por exemplo, orifício em cavidade. Em equilíbrio térmico, irradia energia na mesma taxa que a absorve



Uma estrela pode ser considerada (em 1ª aproximação) um corpo negro





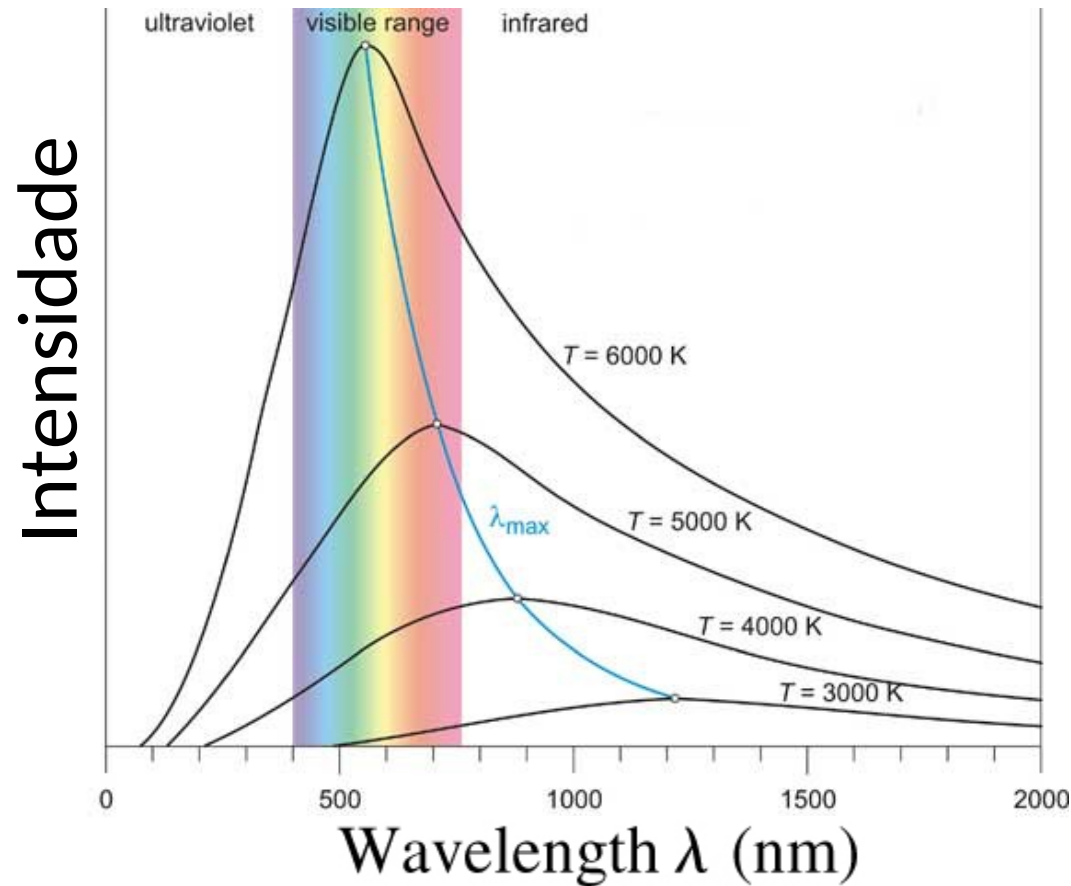
A função de Planck descreve a **radiação de corpo negro**:

$$B_\lambda(T) \cong \frac{2hc^2 / \lambda^5}{e^{hc/\lambda kT} - 1}$$

depende da temperatura T e o comprimento de onda λ (ou frequência $\nu = c/\lambda$)

A radiação de Corpo Negro é uma aproximação para o espectro contínuo emitido pelas estrelas

- Objeto caracterizado por uma temperatura T
- Supõe-se um estado de equilíbrio termodinâmico



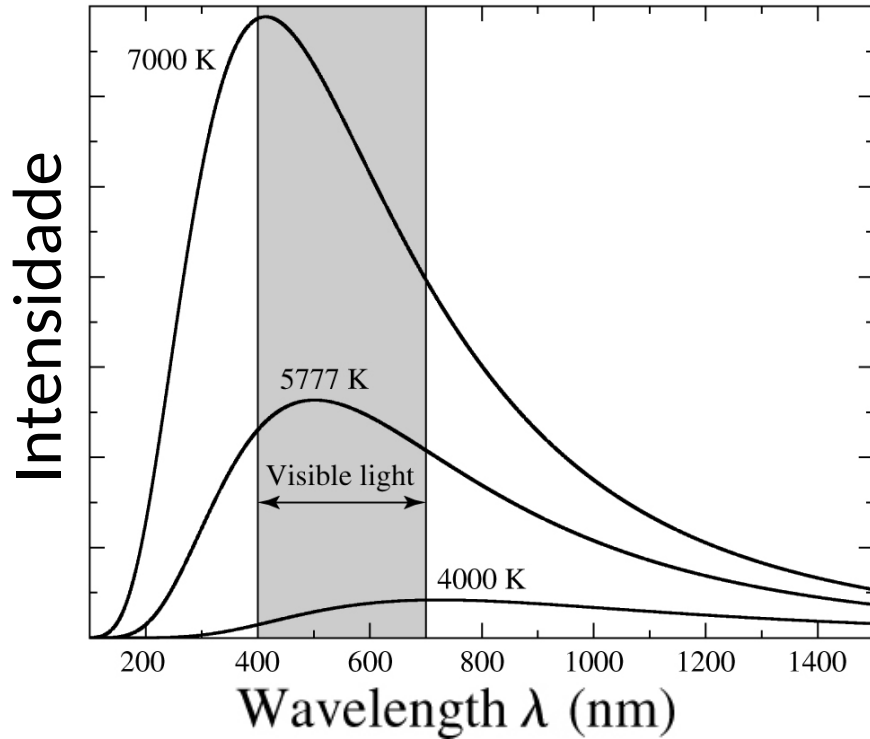
Máximo de intensidade no λ_{max} (ou frequência ν_{max})

Temperatura $T \uparrow$: $\lambda_{max} \downarrow$ (azul), $\nu_{max} \uparrow$

Temperatura $T \downarrow$: $\lambda_{max} \uparrow$ (vermelho), $\nu_{max} \downarrow$

Deslocamento do pico de máxima intensidade:

Para qual λ_{\max} é o máximo de intensidade?



$$I_{\lambda}(T) \cong \frac{2hc^2 / \lambda^5}{e^{hc/\lambda kT} - 1}$$

$I_{\max} \Rightarrow \lambda_{\max}$ obtido pela derivada

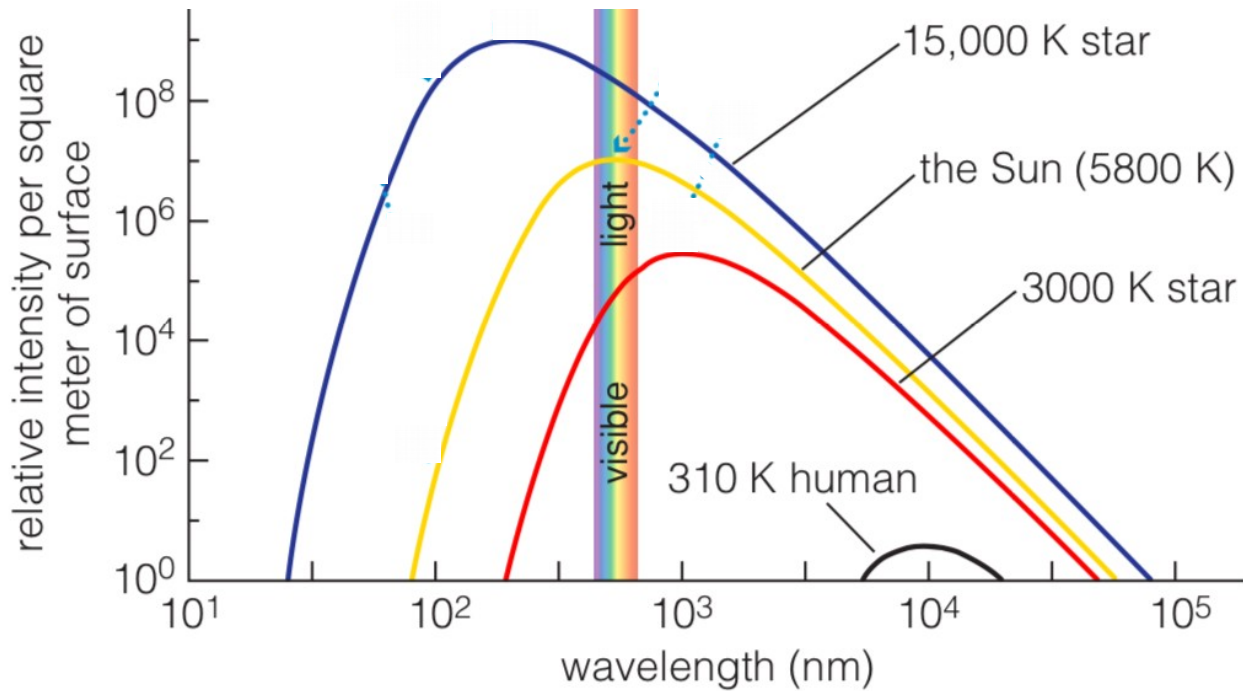
$$\frac{d I_{\lambda}}{d\lambda} = 0$$

Lei de Wien $\lambda_{\max}(cm) = \frac{0,2897755}{T(K)}$

Lei de Wien $\lambda_{\max} (cm) = \frac{0,2897755}{T(K)}$

$$\begin{aligned} 1 \text{ cm} &= 10^{-2} \text{ m} \\ 1 \text{ nm} &= 10^{-9} \text{ m} \end{aligned} \quad \rightarrow \quad 1 \text{ cm} = 10^7 \text{ nm}$$

$$\lambda_{\max} (nm) = 2\,897\,755 / T(K)$$

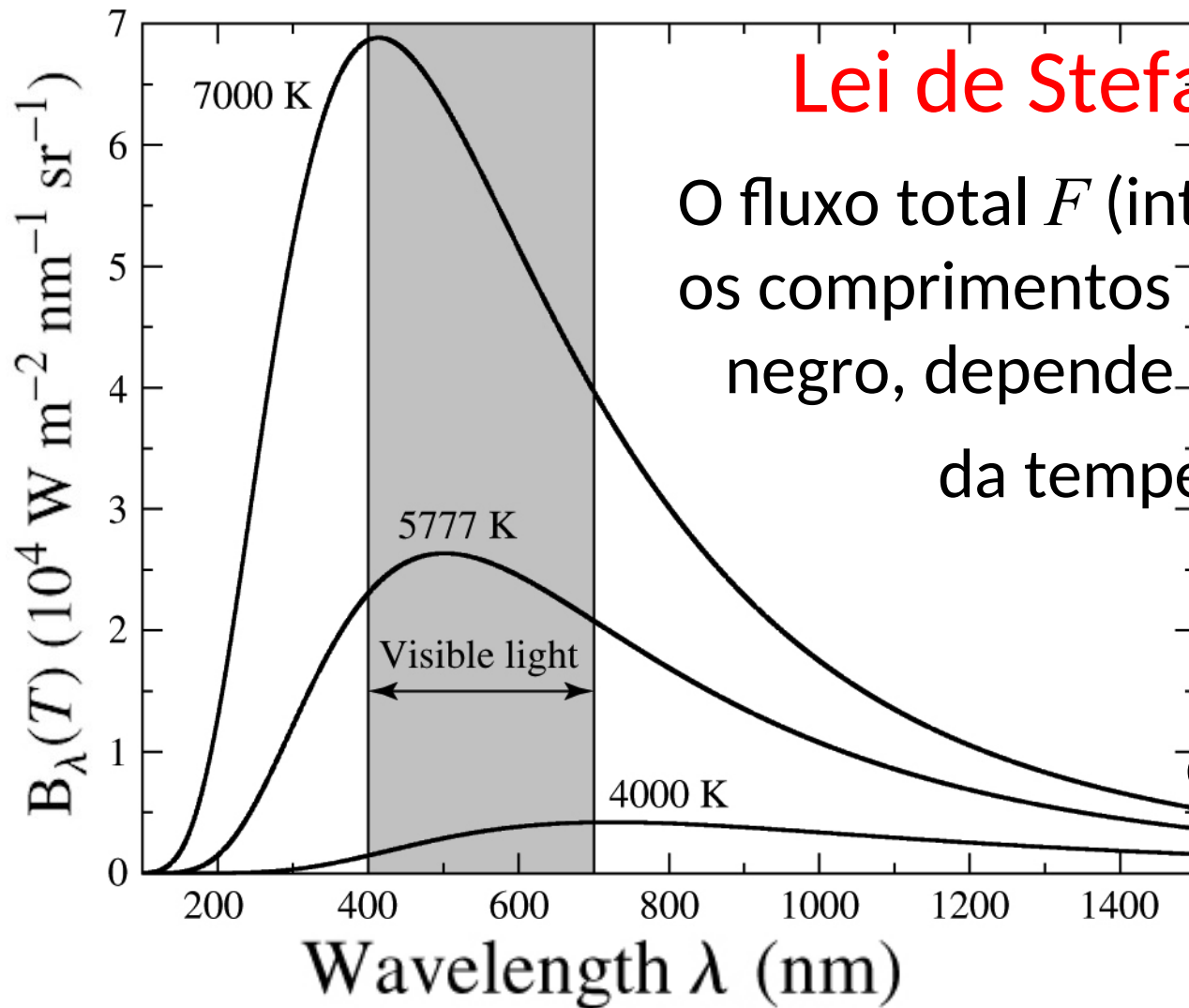


© cosmic perspective

$$\lambda_{\max} (nm) = 2897755 / T(K)$$

Exemplos:

- Sol ($T \sim 5800$ K), $\lambda_{\max} \sim 500$ nm (visível)
- Antares ($T_e \sim 3000$ K gigante vermelha), $\lambda_{\max} \sim 1$ μ m (infravermelho)
- Sirius ($T_e \sim 10000$ K gigante azul), $\lambda_{\max} \sim 290$ nm (UV).



Lei de Stefan - Boltzmann

O fluxo total F (integrando em todos os comprimentos de onda) do corpo negro, depende exponencialmente da temperatura, $F = \sigma T^4$

Lei empírica por Stefan (1879) e derivada depois por Boltzmann (1884)

$$\sigma = 5,67 \times 10^{-5} \text{ erg cm}^{-2} \text{ K}^{-4} \text{ s}^{-1}$$

(cte de Stefan-Boltzmann)

Lei de Stefan – Boltzmann



Josef Stefan
(1835-1893)

Fluxo total emitido por corpo negro: $F = \sigma T^4$

A luminosidade é Fluxo x Área,
então a luminosidade de um
corpo negro é:

$$L = A\sigma T^4$$

Para uma estrela,
área = $4\pi R^2$

$$\rightarrow L = 4\pi R^2 \sigma T_e^4$$

A temperatura na “superfície” da
estrela é a **temperatura efetiva**,
onde a medida de fluxo total é
igual ao de um corpo negro:

$$F = \sigma T_e^4$$



Ludwig Boltzmann
(1844-1906)

Exemplo 3.4.2. Calcular a temperatura efetiva do Sol usando

$$L_{\odot} = 3.839 \times 10^{26} \text{ W}$$

$$R_{\odot} = 6.95508 \times 10^8 \text{ m}$$

Exemplo 3.4.2. Calcular a temperatura efetiva do Sol usando

$$L_{\odot} = 3.839 \times 10^{26} \text{ W}$$

$$R_{\odot} = 6.95508 \times 10^8 \text{ m}$$

$$L = 4\pi R^2 \sigma T_e^4 \quad \sigma = 5.670400 \times 10^{-8} \text{ W m}^{-2} \text{ K}^{-4}$$

Exemplo 3.4.2. Calcular a temperatura efetiva do Sol usando

$$L_{\odot} = 3.839 \times 10^{26} \text{ W}$$

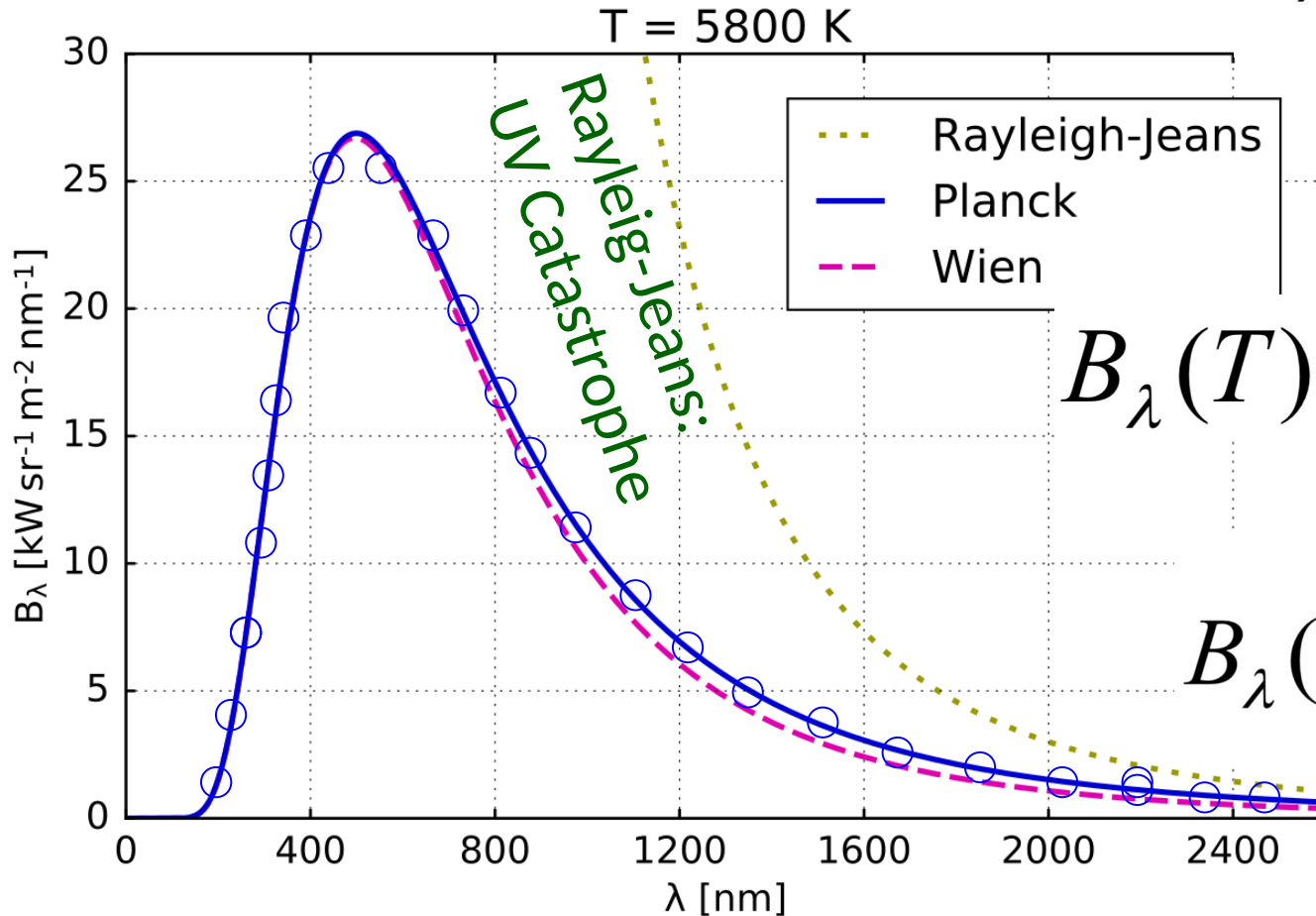
$$R_{\odot} = 6.95508 \times 10^8 \text{ m}$$

$$L = 4\pi R^2 \sigma T_e^4 \quad \sigma = 5.670400 \times 10^{-8} \text{ W m}^{-2} \text{ K}^{-4}$$

$$\Rightarrow T_{\odot} = \left(\frac{L_{\odot}}{4\pi R_{\odot}^2 \sigma} \right)^{\frac{1}{4}} = 5777 \text{ K}$$

3.5 Crise na Física (~ 1900)

Rayleigh-Jeans: boa para λ longo

$$B_{\lambda}(T) \cong \frac{2 c k T}{\lambda^4}$$


Wien: boa para λ curto

$$B_{\lambda}(T) \cong a \lambda^{-5} e^{-b/\lambda T}$$

Planck

$$B_{\lambda}(T) \cong \frac{a / \lambda^5}{e^{b/\lambda T} - 1}$$

3.5 A quantização de energia

- **Rayleigh** combinou equações de Maxwell com a física térmica para deduzir a expressão:

$$B_{\lambda}(T) \cong \frac{2 c k T}{\lambda^4} \quad \textit{UV catastrophe}$$

essa aproximação de corpo negro é a **lei de Rayleigh-Jeans**, válida caso λ seja longo.

- **Wien** também buscava a expressão correta para a radiação de corpo negro e desenvolveu uma lei empírica válida para λ curto:

$$B_{\lambda}(T) \cong a \lambda^{-5} e^{-b / \lambda T}$$

onde a e b são constantes de ajuste dos dados experimentais.

$k = 1,38 \times 10^{-16}$ erg K⁻¹ cte. de Boltzmann



Max Planck
(1858-1947)

Em um 'ato de desespero', Planck introduz o quantum de energia, resultando na expressão correta da curva de radiação de corpo negro (14/Dez/1900):

$$B_{\lambda}(T) = \frac{2hc^2 / \lambda^5}{e^{hc / \lambda kT} - 1}$$

A onda eletromagnética somente pode ter múltiplos inteiros de um **quantum** ($E = h \nu$). Ou seja, a radiação é composta de **pacotes discretos** (*quanta*) de energia.

$h = 6,63 \cdot 10^{-27}$ erg s (= $6,63 \cdot 10^{-34}$ J s; cte. de Planck).

Aproximações
da Lei de Planck
em função da
frequência

$$B_\nu(T) = \frac{2h\nu^3}{c^2} \frac{1}{\left[e^{h\nu/kT} - 1 \right]}$$

Dependendo da faixa de frequências, podemos adotar algumas aproximações para a lei de Planck:

1. Distribuição de Wien:

Altas frequências (e/ou Temperaturas não muito altas)

$$\frac{h\nu}{kT} \gg 1 \rightarrow e^{\frac{h\nu}{kT}} \gg 1 \quad B_\nu(T) = \frac{2h\nu^3}{c^2} e^{-h\nu/kT}$$

Aproximações da Lei de Planck (cont.)

$$B_\nu(T) = \frac{2h\nu^3}{c^2} \frac{1}{\left[e^{h\nu/kT} - 1 \right]}$$

2. Distribuição de Rayleigh-Jeans:

Baixas frequências (e/ou temperaturas não muito baixas)

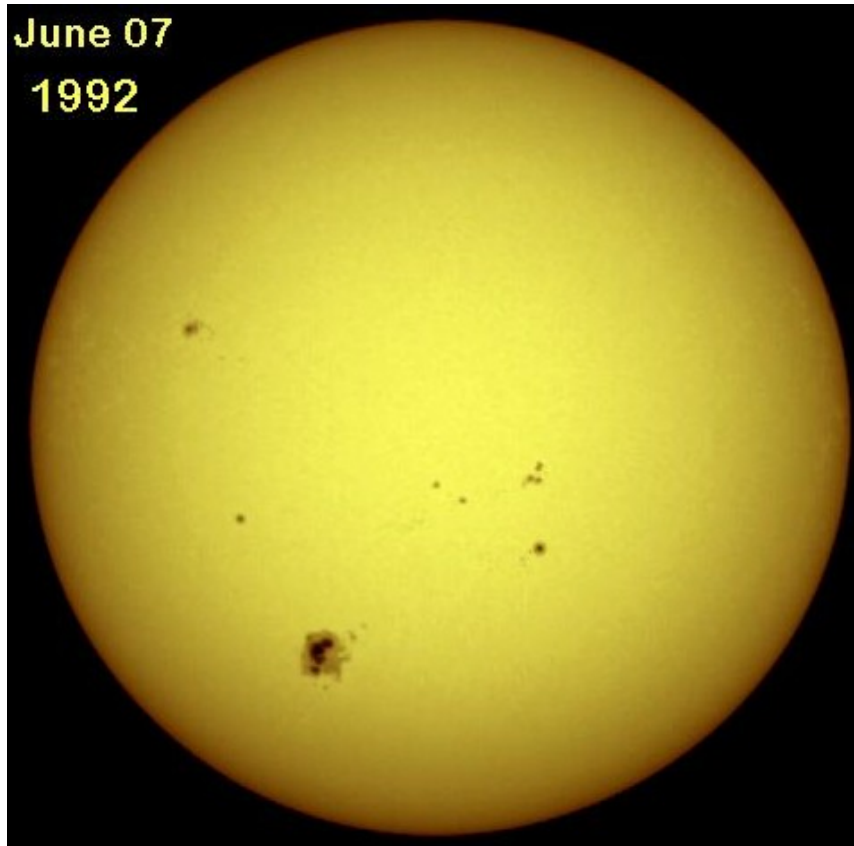
$$\frac{h\nu}{kT} \ll 1 \rightarrow e^{\frac{h\nu}{kT}} \approx 1 + \frac{h\nu}{kT}$$

$$e^x = \sum_{n=0}^{\infty} \frac{x^n}{n!} = 1 + x + \frac{x^2}{2!} + \dots$$

$$B_\nu(T) = \frac{2h\nu^3}{c^2} \frac{1}{h\nu/kT} \rightarrow B_\nu(T) = \frac{2\nu^2 kT}{c^2}$$

Intensidade específica vs. Fluxo

- Sol: é possível medir intensidade específica, ou seja a intensidade em um determinado ângulo sólido
- Estrelas: medida de fluxo



<http://solarscience.msfc.nasa.gov/surface.shtml>

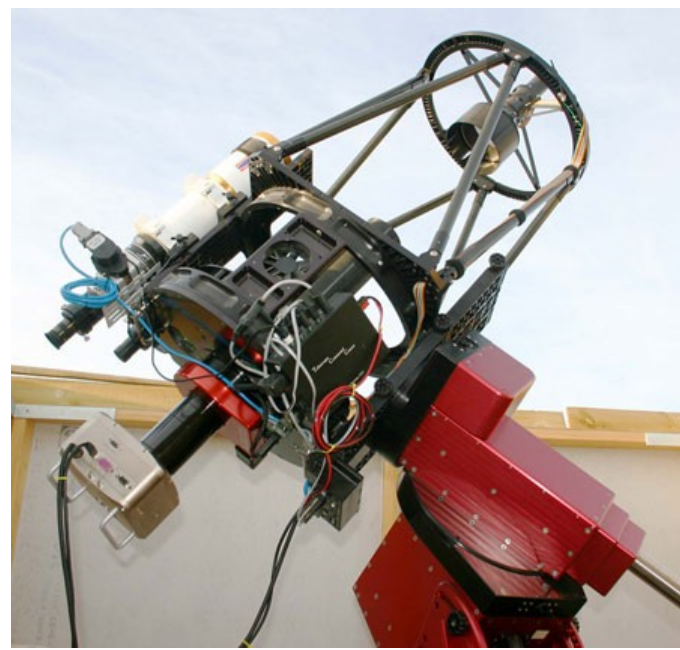


<http://www.twanight.org/newtwan/photos.asp?ID=3001503>

Fluxo monocromático de radiação

O fluxo é a quantidade que se relaciona diretamente com a medida da energia coletada:

$$F_{\lambda} = \frac{\textit{energia}}{\Delta A \Delta t \Delta \lambda}$$

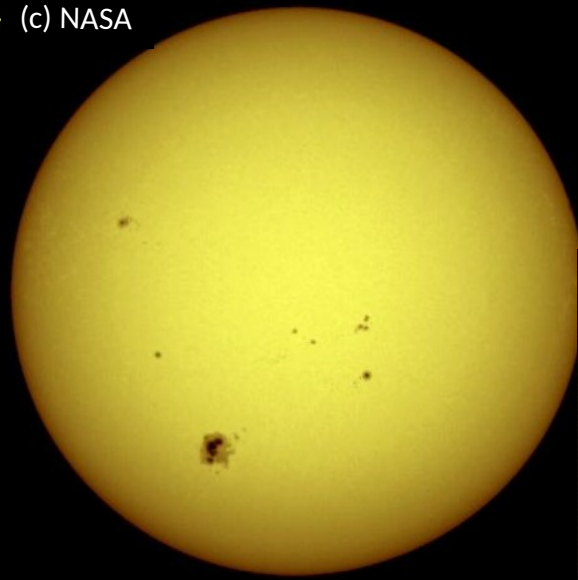


O fluxo (F) de energia que chega numa superfície é a *quantidade de energia* por *unidade de tempo* que passa através de uma *unidade de área* da superfície por unidade de *intervalo de comprimento de onda*

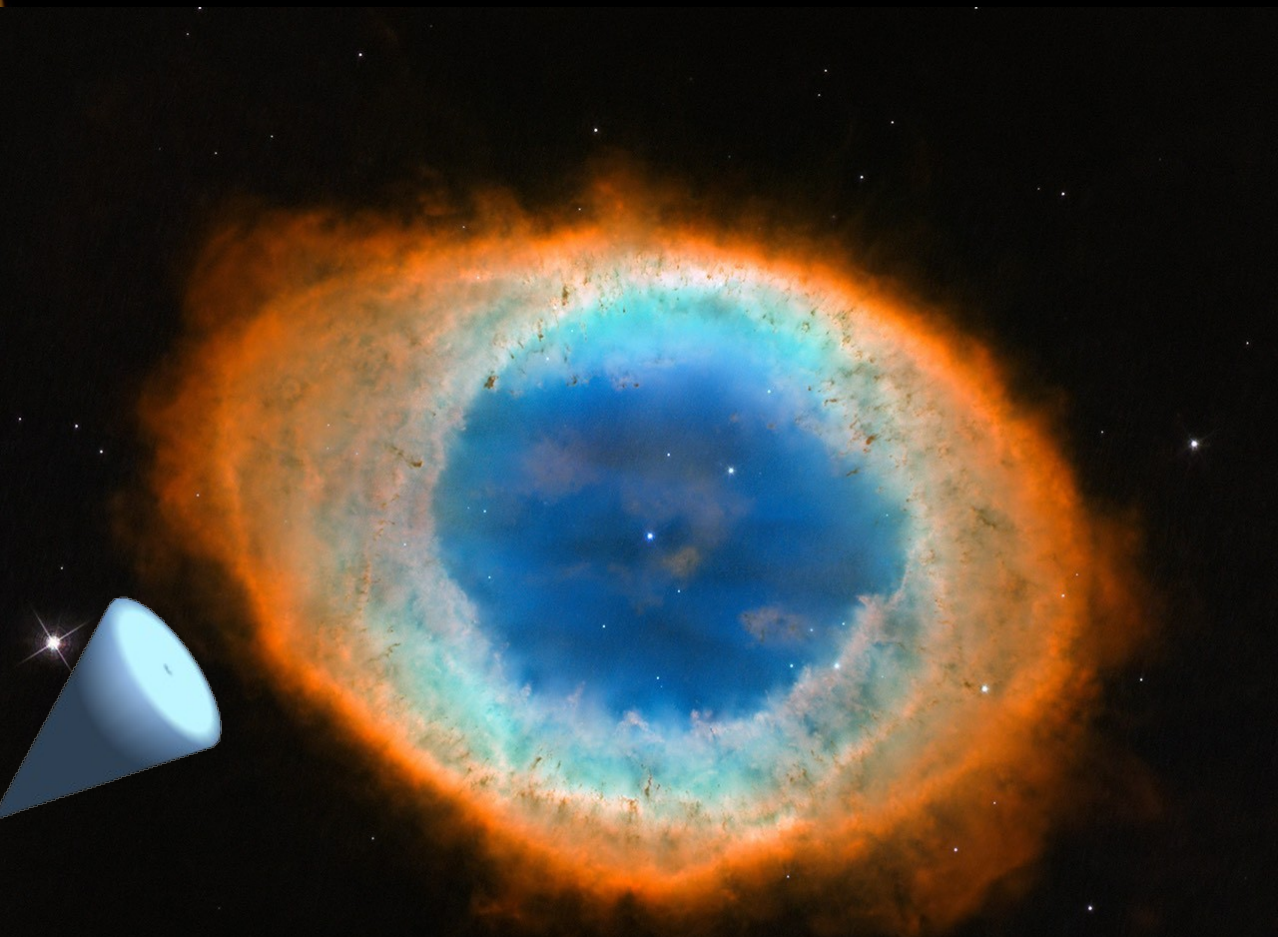
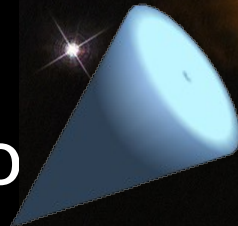
Unidades: **erg** m⁻² s⁻¹ nm⁻¹

(c) NASA

A intensidade específica I_λ é medida em um determinado ângulo sólido



Ângulo sólido

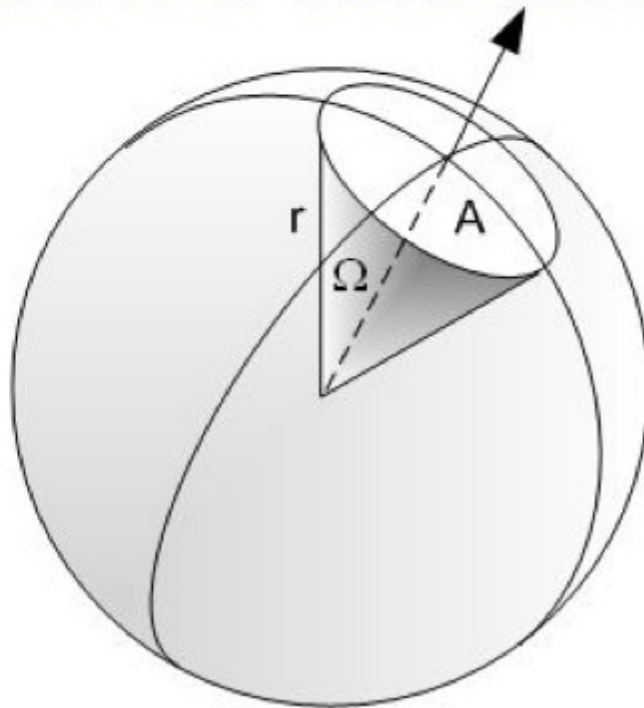


I_λ : energia que atravessa um elemento de área perpendicular, por unidade de tempo, por unidade de comprimento de onda, por unidade de ângulo sólido

M57: the Ring Nebula
(c) NASA/ESA Hubble

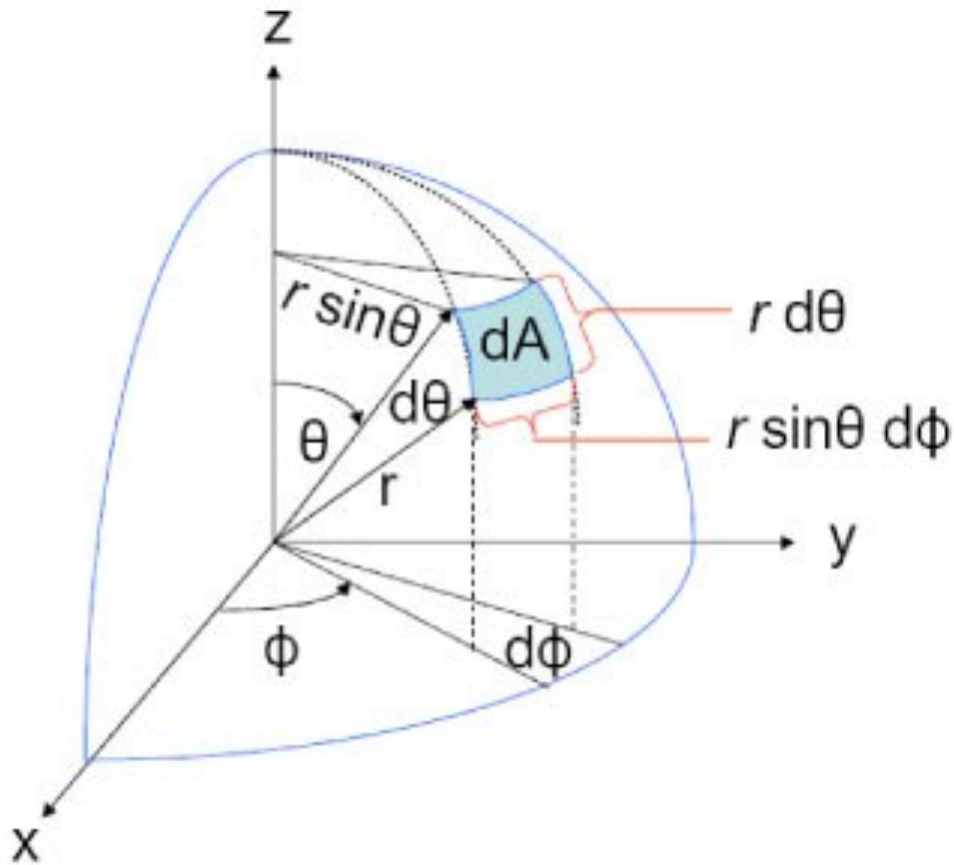
Ângulo Sólido Ω

ângulo subtendido por um objeto de área A a uma distância r .



$$\Omega = A/r^2$$

Ângulo sólido em coordenadas esféricas

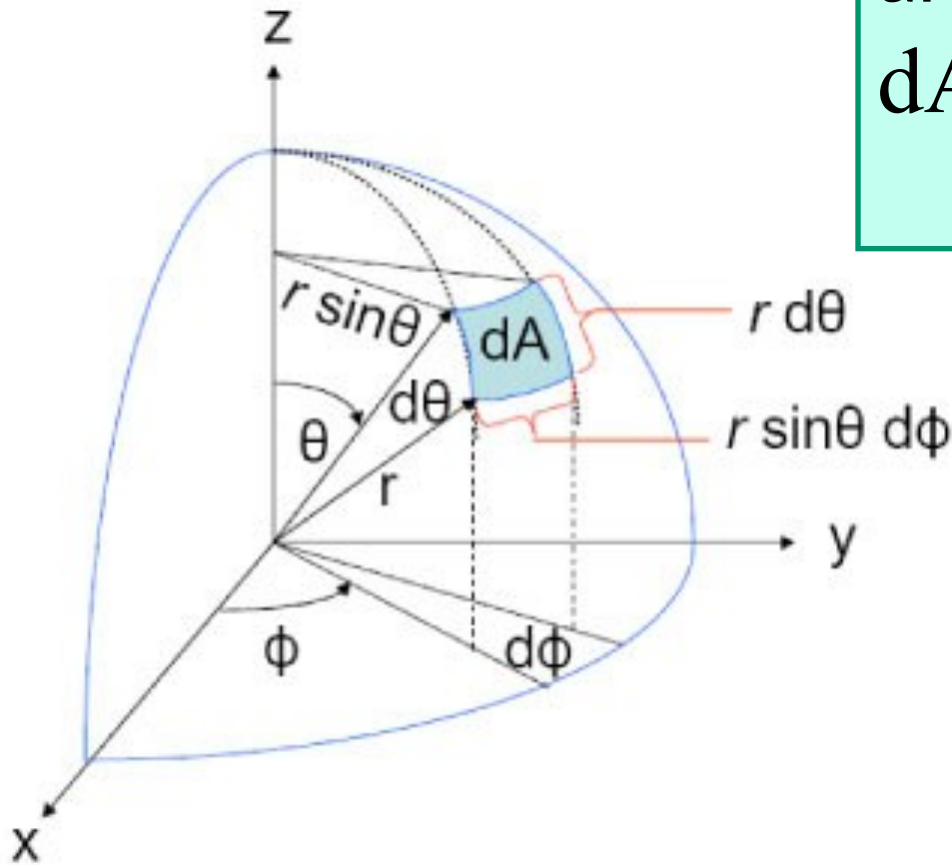


$$\omega = A/r^2$$

Ângulo sólido em coordenadas esféricas

área elementar

$$dA = (r d\theta) (r \sin\theta d\phi) \\ = r^2 \sin\theta d\theta d\phi$$

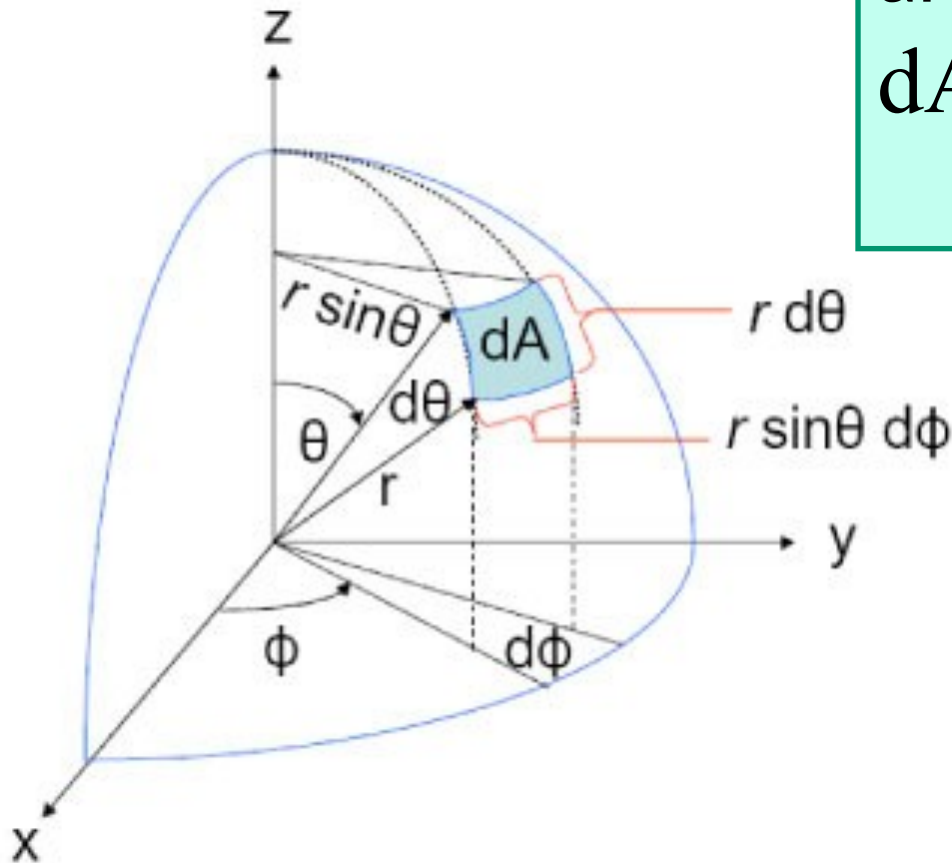


$$\omega = A/r^2$$

Ângulo sólido em coordenadas esféricas

área elementar

$$dA = (r d\theta) (r \sin\theta d\phi) \\ = r^2 \sin\theta d\theta d\phi$$



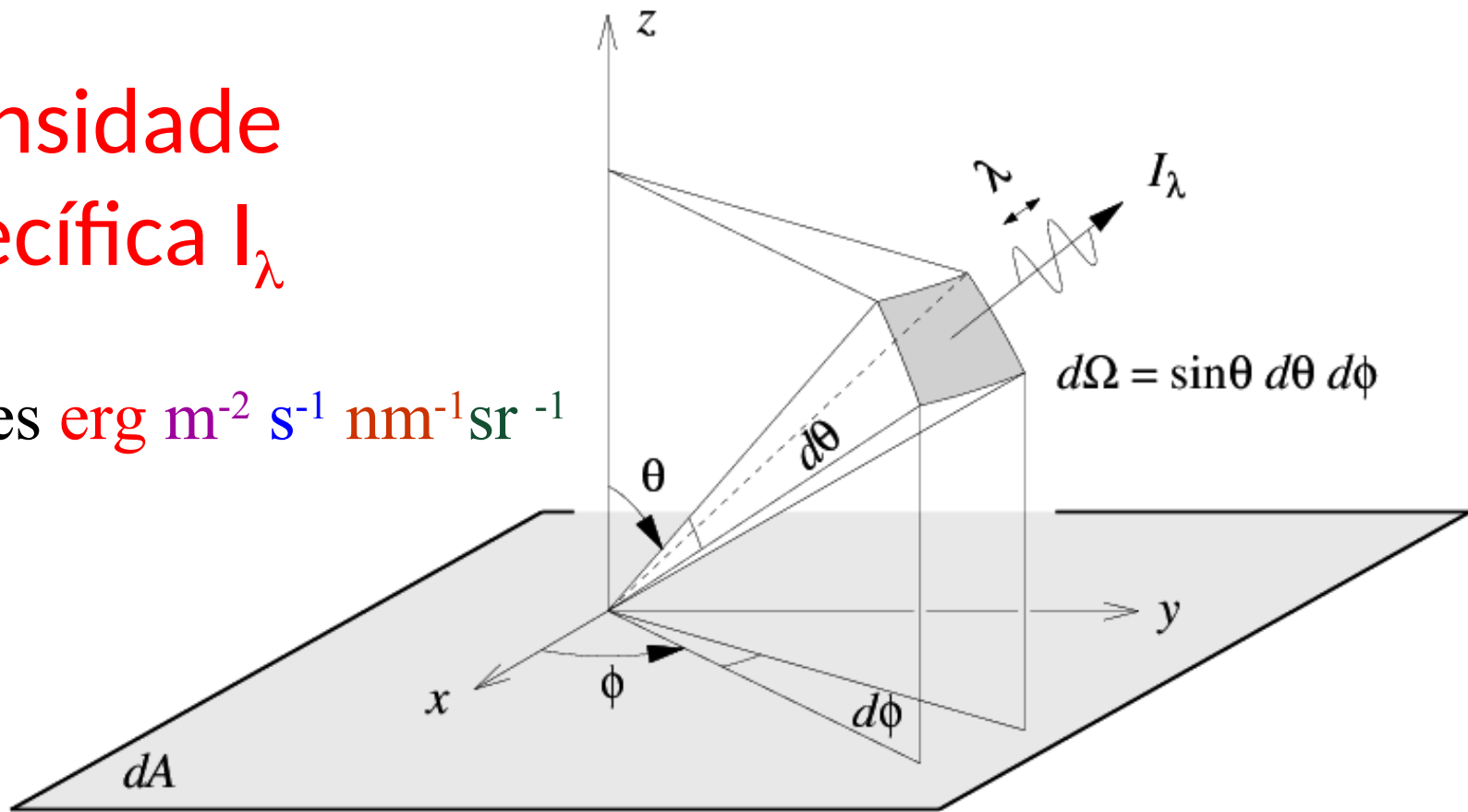
$$\omega = A/r^2$$

ângulo sólido elementar
subtendido pela área dA :

$$d\omega = \sin\theta d\theta d\phi$$

Intensidade específica I_λ

unidades $\text{erg m}^{-2} \text{s}^{-1} \text{nm}^{-1} \text{sr}^{-1}$

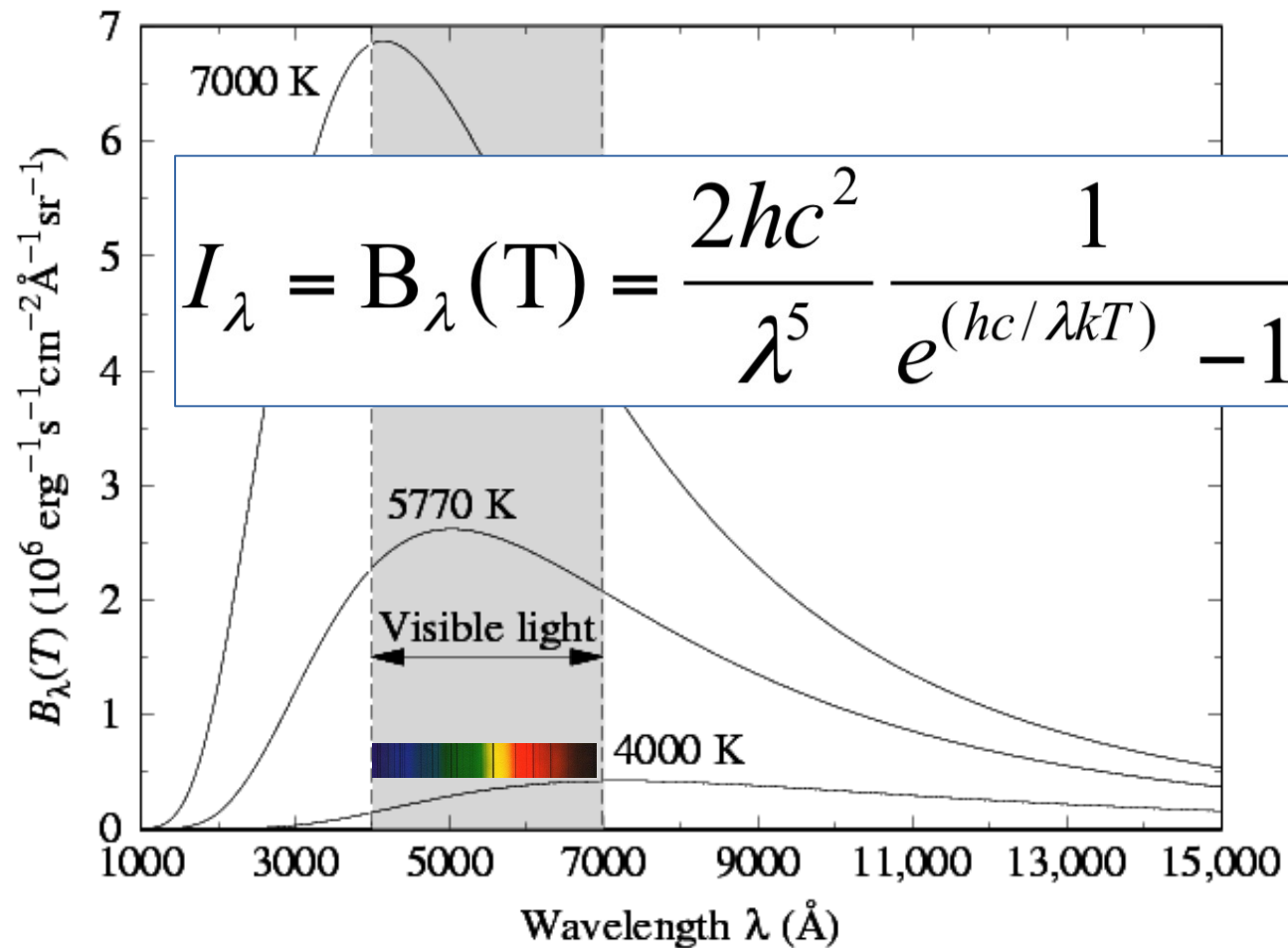


Energia que atravessa um elemento de **área perpendicular** ($\Delta A \cos\theta$), por unidade de **tempo**, por unidade de **comprimento de onda**, por unidade de **ângulo sólido**

Radiação de corpo negro é exemplo de intensidade específica

Porem, nas estrelas observamos

o fluxo. Na superfície de estrelas: $F_{\lambda} \sim \pi B_{\lambda}$



A lei de Planck como Intensidade Específica

$$I_{\lambda} = B_{\lambda}(T) = \frac{2hc^2}{\lambda^5} \frac{1}{e^{(hc/\lambda kT)} - 1}$$

A energia emitida por unidade de tempo Δt , por unidade de área perpendicular à fonte $dA \cos\theta$, no intervalo de comprimento de onda $\lambda + \delta\lambda$, por unidade de ângulo sólido:

$$B_{\lambda}(T) = \frac{dE}{dt dA \cos \theta d\lambda d\omega}$$

unidades: $\text{erg s}^{-1} \text{ m}^{-2} \text{ sr}^{-1} \text{ nm}^{-1}$.

A lei de Planck como Intensidade Específica

$$I_{\lambda} = B_{\lambda}(T) = \frac{2hc^2}{\lambda^5} \frac{1}{e^{(hc/\lambda kT)} - 1}$$

A energia emitida por unidade de tempo Δt , por unidade de área perpendicular à fonte $dA \cos\theta$, no intervalo de comprimento de onda $\lambda + \delta\lambda$, por unidade de ângulo sólido:

$$B_{\lambda}(T) = \frac{dE}{dt dA \cos \theta d\lambda d\omega}$$

unidades: $\text{erg s}^{-1} \text{ m}^{-2} \text{ sr}^{-1} \text{ nm}^{-1}$.

ou $\text{erg s}^{-1} \text{ m}^{-2} \text{ sr}^{-1} \text{ Hz}^{-1}$
se for a expressão de Planck em função da frequência

$$B_{\nu}(T) = \frac{2 h \nu^3}{c^2} \frac{1}{\left[e^{h\nu/kT} - 1 \right]}$$

Luminosidade (taxa de energia) monocromática de estrela

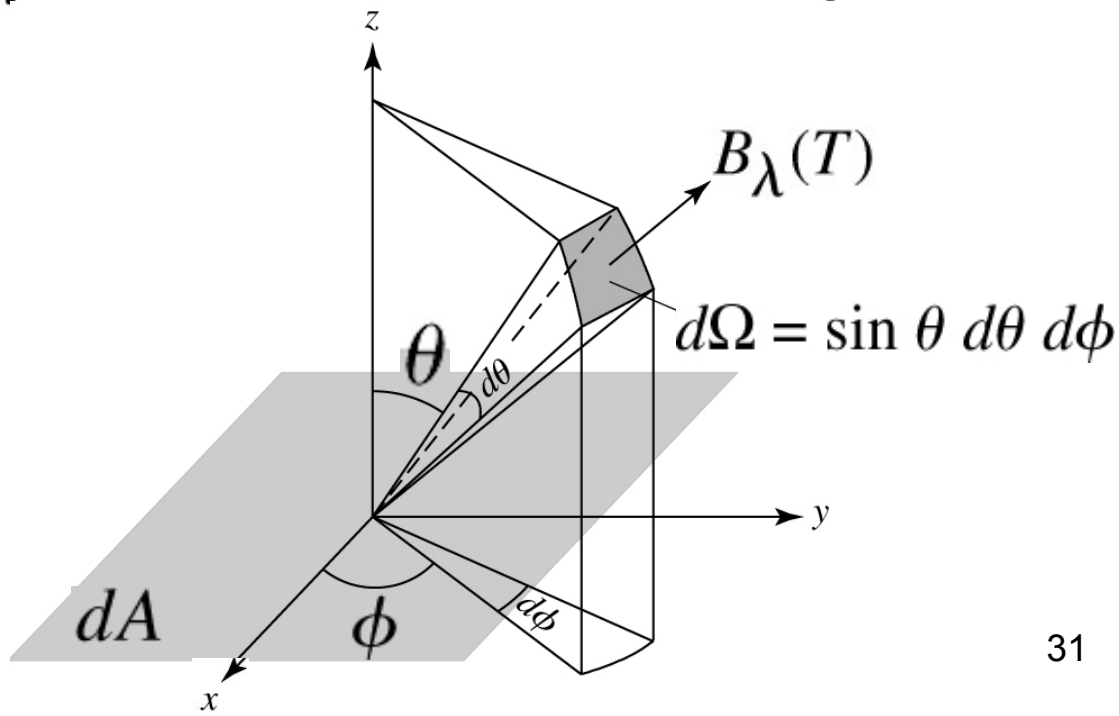
Podemos estimar a taxa de energia por unidade de λ , partindo de B_λ

$$B_\lambda(T) = \frac{dE}{dt dA \cos \theta d\lambda d\omega}$$

$$dL = L_\lambda d\lambda = dE / dt = B_\lambda dA \cos \theta d\lambda d\omega$$

$$L_\lambda d\lambda = \int_{\varphi=0}^{2\pi} \int_{\theta=0}^{\pi/2} \int_{\text{área}} B_\lambda d\lambda dA \cos \theta \sin \theta d\theta d\varphi$$

hemisfério
para fora



$$E_\lambda \equiv \frac{\partial E}{\partial \lambda}$$

$$I_\lambda \equiv \frac{\partial I}{\partial \lambda}$$

Luminosidade monocromática de uma estrela

$$L_{\lambda}d\lambda = \int_{\varphi=0}^{2\pi} \int_{\theta=0}^{\pi/2} \int_A B_{\lambda}d\lambda dA \cos\theta \sin\theta d\theta d\varphi$$

$$L_{\lambda}d\lambda = \pi B_{\lambda} \int_A dA d\lambda$$

A função de Planck é isotrópica. As duas primeiras integrais = π

Luminosidade monocromática de uma estrela

$$L_\lambda d\lambda = \int_{\varphi=0}^{2\pi} \int_{\theta=0}^{\pi/2} \int_A B_\lambda d\lambda dA \cos\theta \sin\theta d\theta d\varphi$$

$$L_\lambda d\lambda = \pi B_\lambda \int_A dA d\lambda$$

$$L_\lambda d\lambda = 4\pi^2 R^2 B_\lambda d\lambda$$

A função de Planck é isotrópica. As duas primeiras integrais = π

Estrela de raio R
 $\rightarrow A = 4\pi R^2$

Luminosidade monocromática de uma estrela

$$L_\lambda d\lambda = \int_{\varphi=0}^{2\pi} \int_{\theta=0}^{\pi/2} \int_A B_\lambda d\lambda dA \cos\theta \sin\theta d\theta d\varphi$$

$$L_\lambda d\lambda = \pi B_\lambda \int_A dA d\lambda$$

$$L_\lambda d\lambda = 4\pi^2 R^2 B_\lambda d\lambda$$

$$L_\lambda d\lambda = \frac{8\pi^2 R^2 hc^2 / \lambda^5}{e^{hc/\lambda kT} - 1} d\lambda$$

$$B_\lambda(T) = \frac{2hc^2 / \lambda^5}{e^{hc/\lambda kT} - 1}$$

A função de Planck é isotrópica. As duas primeiras integrais = π

Estrela de raio R
→ $A = 4\pi R^2$

Para um dado λ , a luminosidade da estrela depende do raio R e temp. T

Fluxo monocromático

Modelo de estrela de raio R ,
emitindo como corpo negro
à uma temperatura T :

$$L_{\lambda} d\lambda = \frac{8\pi^2 R^2 hc^2 / \lambda^5}{e^{hc/\lambda kT} - 1} d\lambda$$

Fluxo F :

$F = \text{Luminosidade} / \text{Área}$

$$F = L / 4 \pi r^2$$

Fluxo monocromático

Modelo de estrela de raio R ,
emitindo como corpo negro
à uma temperatura T :

$$L_{\lambda} d\lambda = \frac{8\pi^2 R^2 hc^2 / \lambda^5}{e^{hc/\lambda kT} - 1} d\lambda$$

Fluxo F :

$F = \text{Luminosidade} / \text{Área}$

$$F = L / 4\pi r^2$$

$$F_{\lambda} d\lambda = \frac{L_{\lambda}}{4\pi r^2} d\lambda$$

Fluxo monocromático

Modelo de estrela de raio R ,
emitindo como corpo negro
à uma temperatura T :

$$L_{\lambda} d\lambda = \frac{8\pi^2 R^2 hc^2 / \lambda^5}{e^{hc/\lambda kT} - 1} d\lambda$$

Fluxo F :

$F = \text{Luminosidade} / \text{Área}$

$$F = L / 4\pi r^2$$

$$F_{\lambda} d\lambda = \frac{L_{\lambda}}{4\pi r^2} d\lambda$$

$$F_{\lambda} d\lambda = \frac{2\pi hc^2 / \lambda^5}{e^{hc/\lambda kT} - 1} \left(\frac{R^2}{r^2} \right) d\lambda$$

Equação de Stefan – Boltzmann

Lembrando, a
luminosidade
monocromática:

$$L_{\lambda}d\lambda = \int_{\varphi=0}^{2\pi} \int_{\theta=0}^{\pi/2} \int_A B_{\lambda}d\lambda dA \cos\theta \sin\theta d\theta d\varphi$$

$$L_{\lambda}d\lambda = 4\pi^2 R^2 B_{\lambda}d\lambda$$

Equação de Stefan – Boltzmann

Lembrando, a
luminosidade
monocromática:

$$L_{\lambda} d\lambda = \int_{\varphi=0}^{2\pi} \int_{\theta=0}^{\pi/2} \int_A B_{\lambda} d\lambda dA \cos\theta \sin\theta d\theta d\varphi$$

$$L_{\lambda} d\lambda = 4\pi^2 R^2 B_{\lambda} d\lambda$$

Integrando obtemos
a luminosidade total:

$$L = \int_{\lambda=0}^{\lambda=\infty} L_{\lambda} d\lambda = \int_{\lambda=0}^{\lambda=\infty} 4\pi^2 R^2 B_{\lambda} d\lambda$$

Equação de Stefan – Boltzmann

Lembrando, a
luminosidade
monocromática:

$$L_{\lambda} d\lambda = \int_{\varphi=0}^{2\pi} \int_{\theta=0}^{\pi/2} \int_A B_{\lambda} d\lambda dA \cos\theta \sin\theta d\theta d\varphi$$

$$L_{\lambda} d\lambda = 4\pi^2 R^2 B_{\lambda} d\lambda$$

Integrando obtemos
a luminosidade total:

$$L = \int_{\lambda=0}^{\lambda=\infty} L_{\lambda} d\lambda = \int_{\lambda=0}^{\lambda=\infty} 4\pi^2 R^2 B_{\lambda} d\lambda$$

Comparando à lei de Stefan-Boltzmann: $L = 4\pi R^2 \sigma T^4$

Equação de Stefan – Boltzmann

Lembrando, a
luminosidade
monocromática:

$$L_{\lambda} d\lambda = \int_{\varphi=0}^{2\pi} \int_{\theta=0}^{\pi/2} \int_A B_{\lambda} d\lambda dA \cos\theta \sin\theta d\theta d\varphi$$

$$L_{\lambda} d\lambda = 4\pi^2 R^2 B_{\lambda} d\lambda$$

Integrando obtemos
a luminosidade total:

$$L = \int_{\lambda=0}^{\lambda=\infty} L_{\lambda} d\lambda = \int_{\lambda=0}^{\lambda=\infty} 4\pi^2 R^2 B_{\lambda} d\lambda$$

Comparando à lei de Stefan-Boltzmann: $L = 4\pi R^2 \sigma T^4$

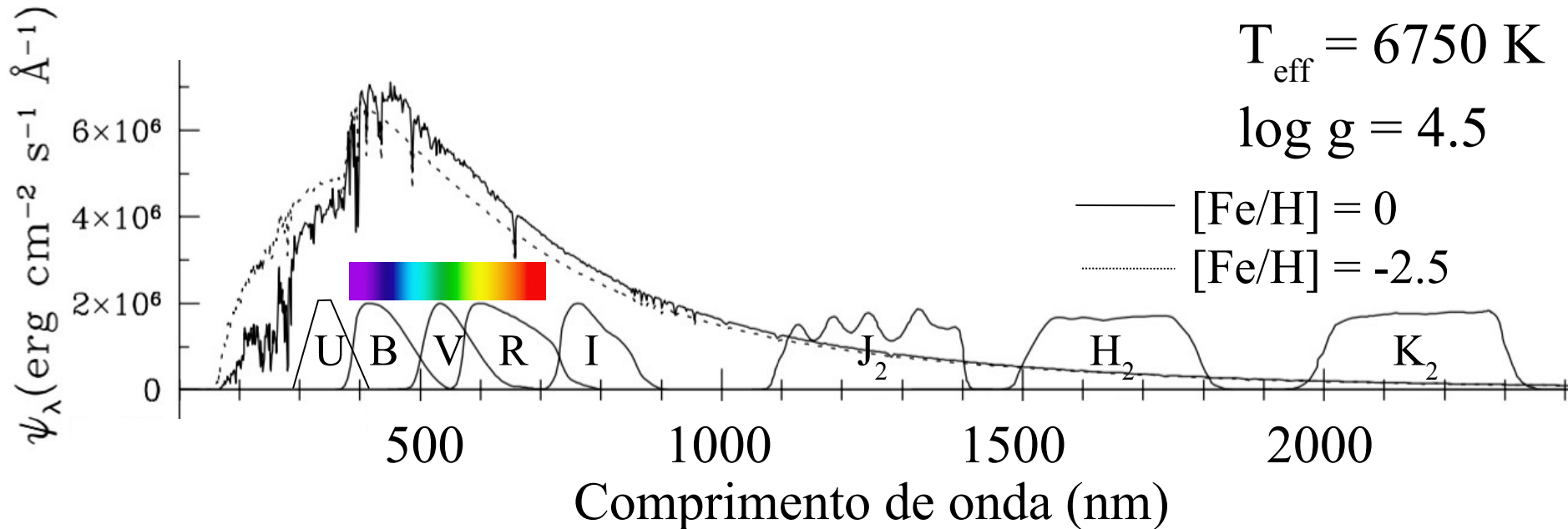
→ Significa que podemos obter
a lei de Stefan-Boltzmann
integrando a função de Planck:

$$\pi \int_{\lambda=0}^{\lambda=\infty} B_{\lambda}(T) d\lambda = \sigma T^4$$

Se a estrela fosse observada em todos os comprimentos de onda:

- m_{bol} : magnitude aparente bolométrica
- M_{bol} : magnitude absoluta bolométrica

Na prática, a magnitude é observada em um dado filtro. Por ex., m_B (ou simplesmente "B") para magnitude no filtro B (*blue*)



3.6 Índice de Cor

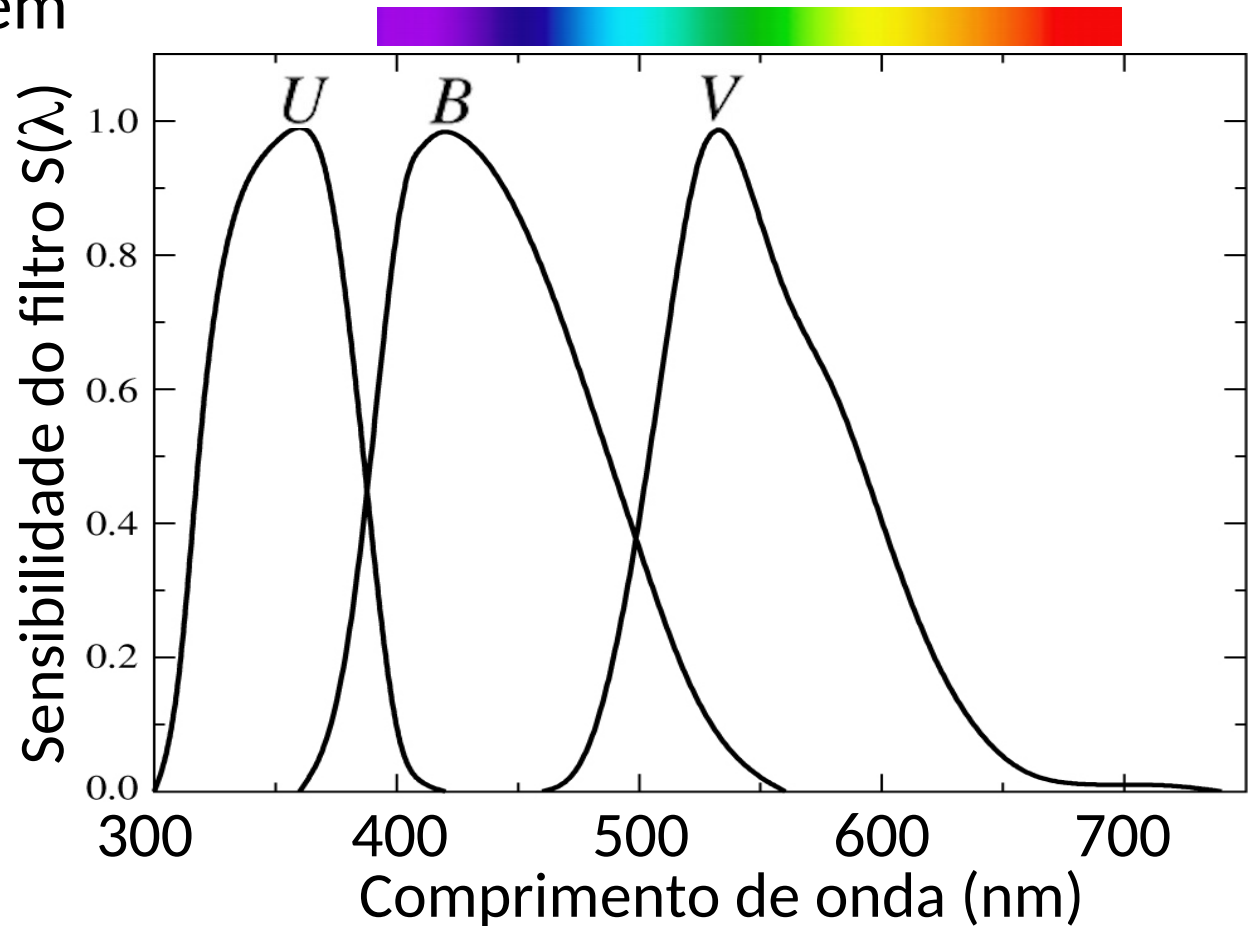
Os fotômetros medem o fluxo em faixas definidas por filtros

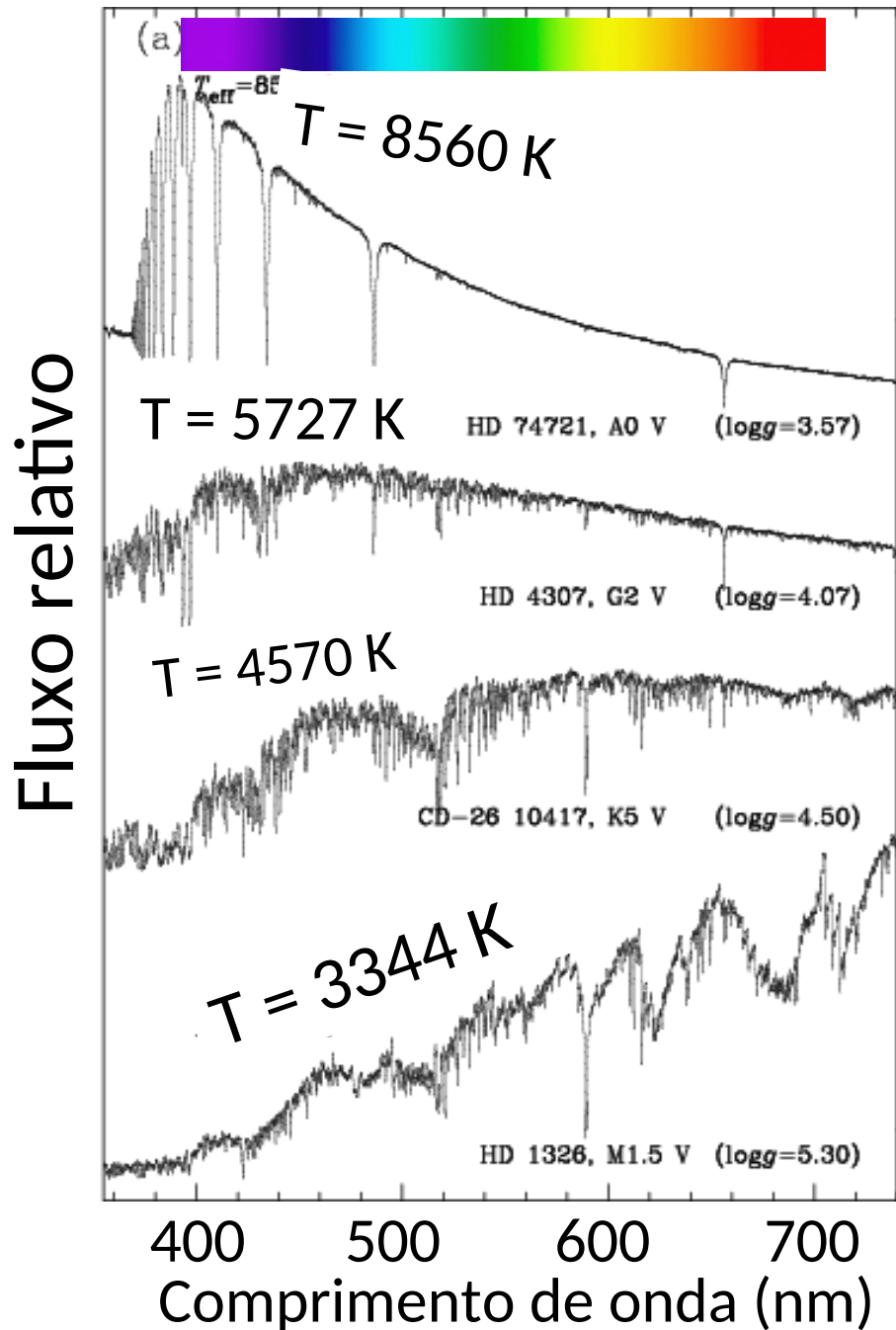
A “cor” de uma estrela é estimada pela diferença na magnitude em 2 filtros diferentes.

Por exemplo no sistema UBV, cor

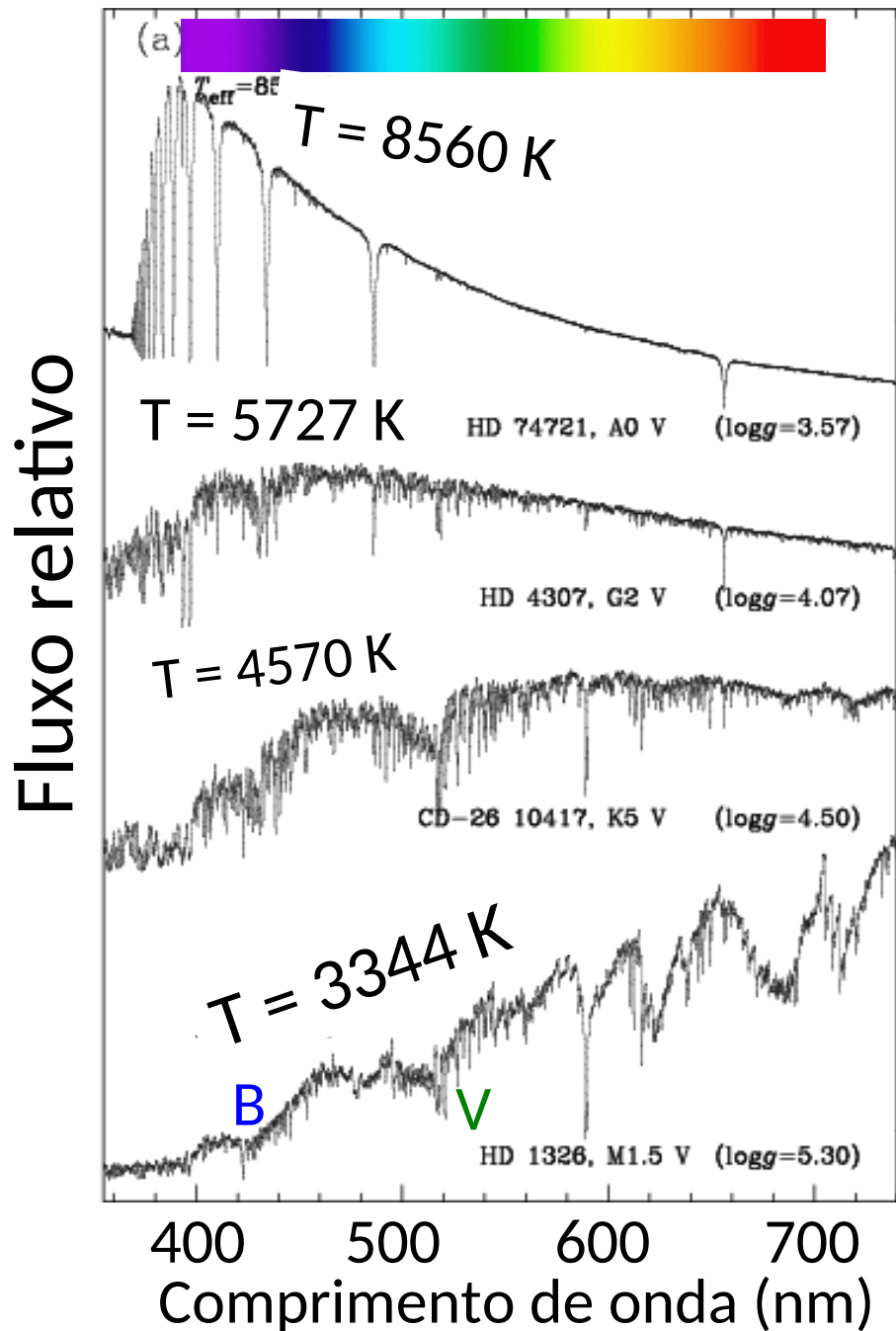
$$m_B - m_V =$$

$$B - V = -2,5 \log (F_B / F_V)$$

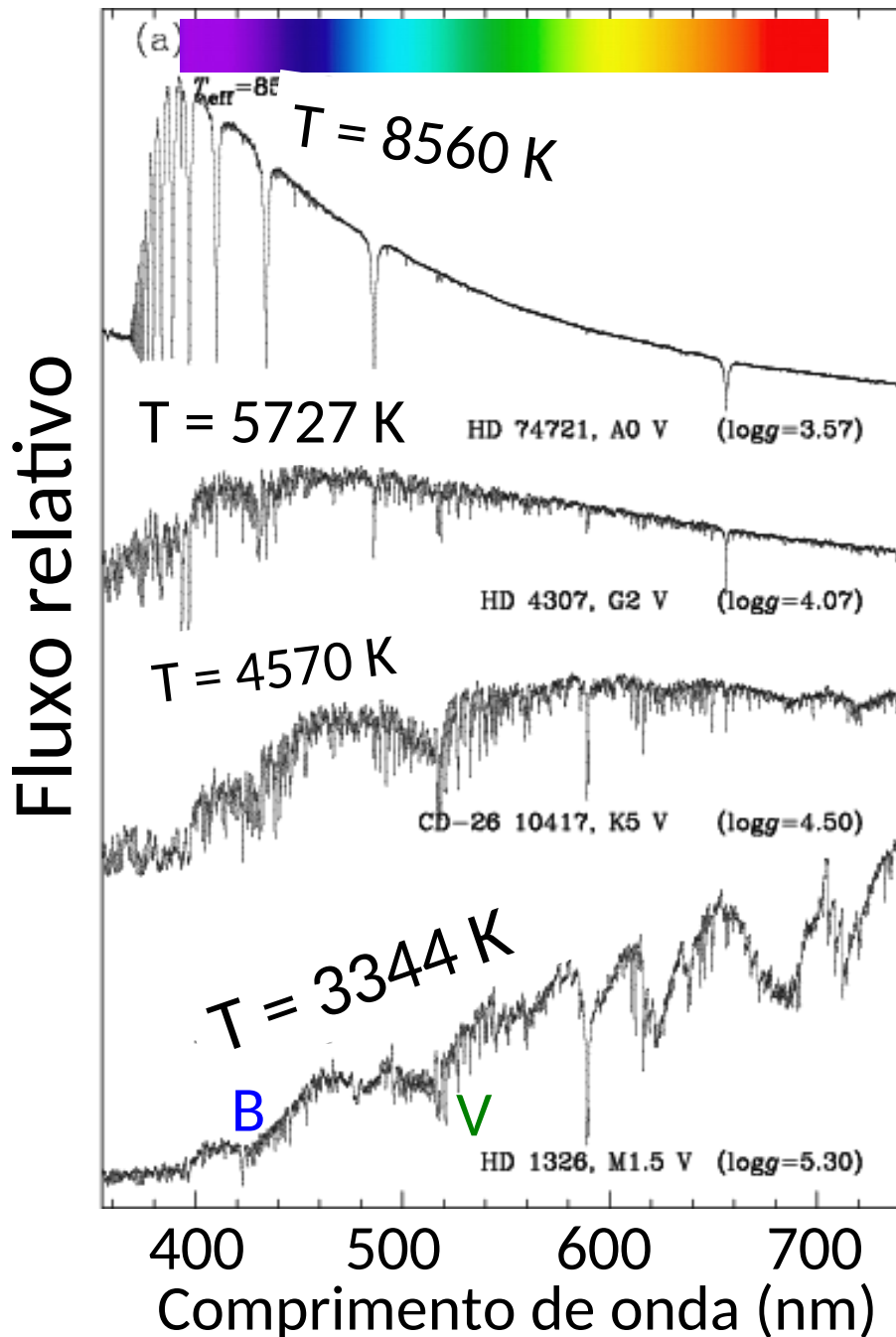




Lembrar que fluxos mais intensos são representados por magnitudes menores



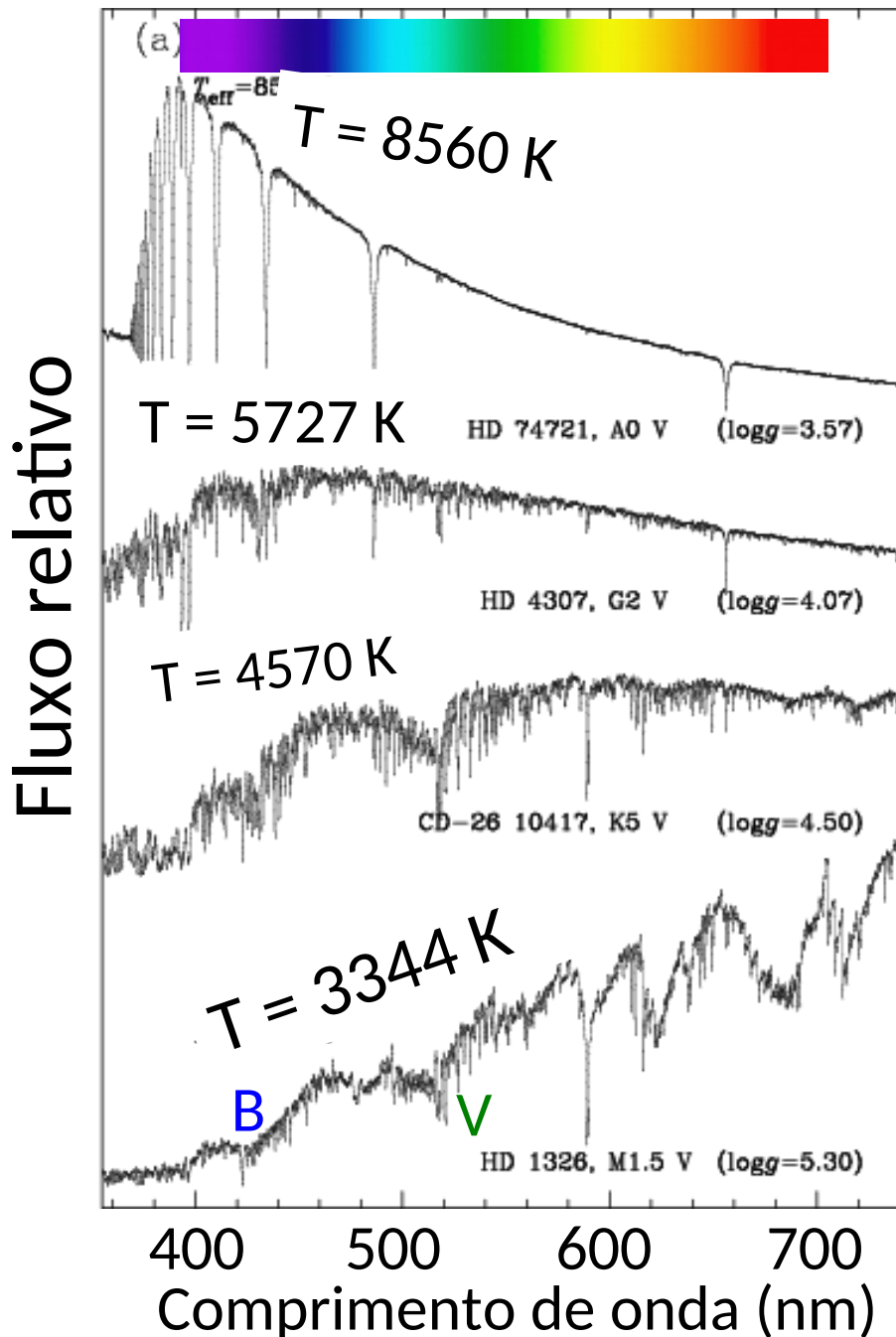
Lembrar que fluxos mais intensos são representados por magnitudes menores



Índice de Cor (B-V)

$$B - V = -2,5 \log (F_B / F_V)$$

Lembrar que fluxos mais intensos são representados por magnitudes menores



Índice de Cor (B-V)

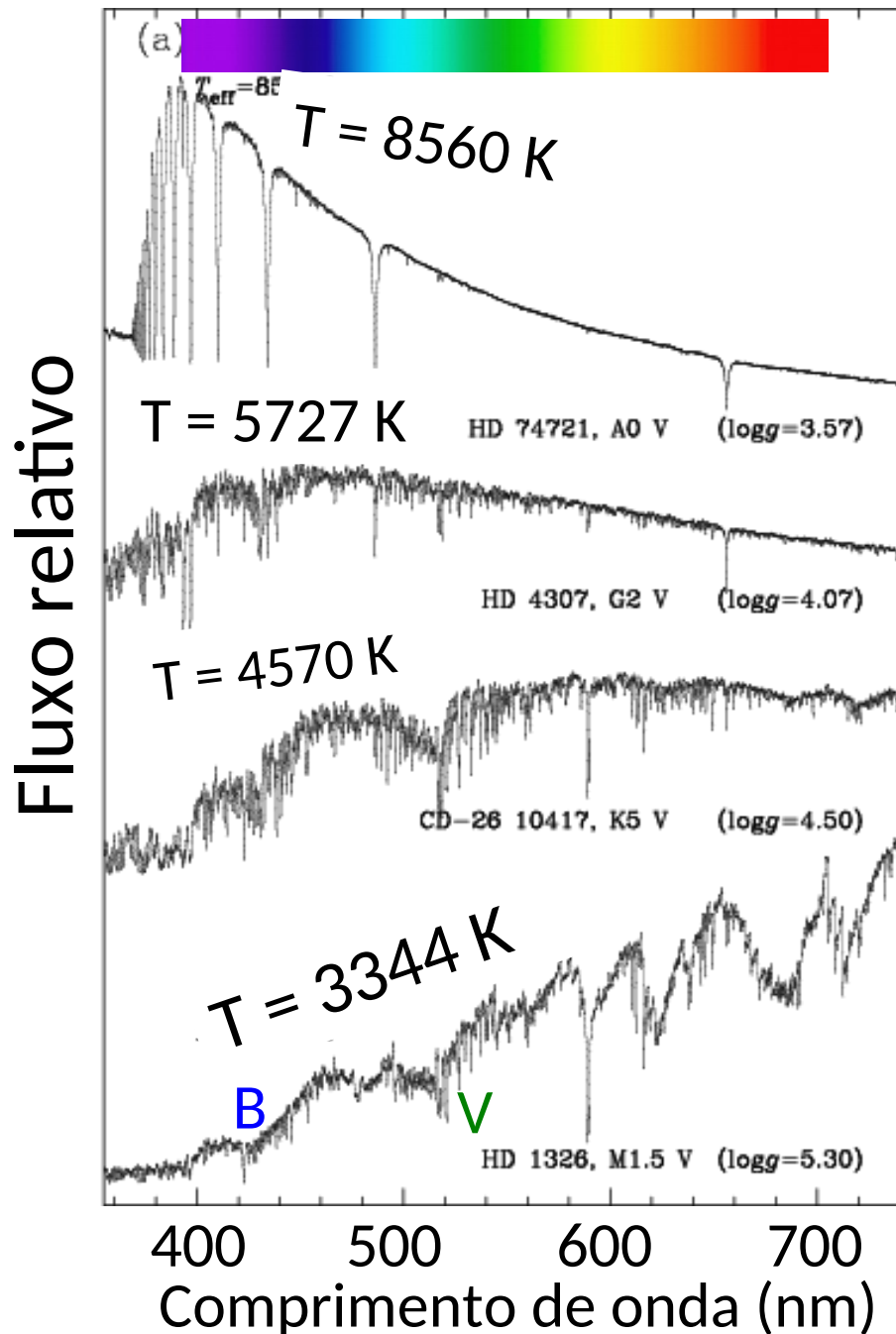
$$B - V = -2,5 \log (F_B / F_V)$$

$$B \ll V \Rightarrow F_B \gg F_V$$

$$(B - V) < 0$$

Estrela quente, azulada

Lembrar que fluxos mais intensos são representados por magnitudes menores



Índice de Cor (B-V)

$$B - V = -2,5 \log (F_B / F_V)$$

$$B \ll V \Rightarrow F_B \gg F_V$$

$$(B - V) < 0$$

Estrela quente, azulada

$$B \gg V \Rightarrow F_B \ll F_V$$

$$(B - V) > 0$$

Estrela fria, avermelhada

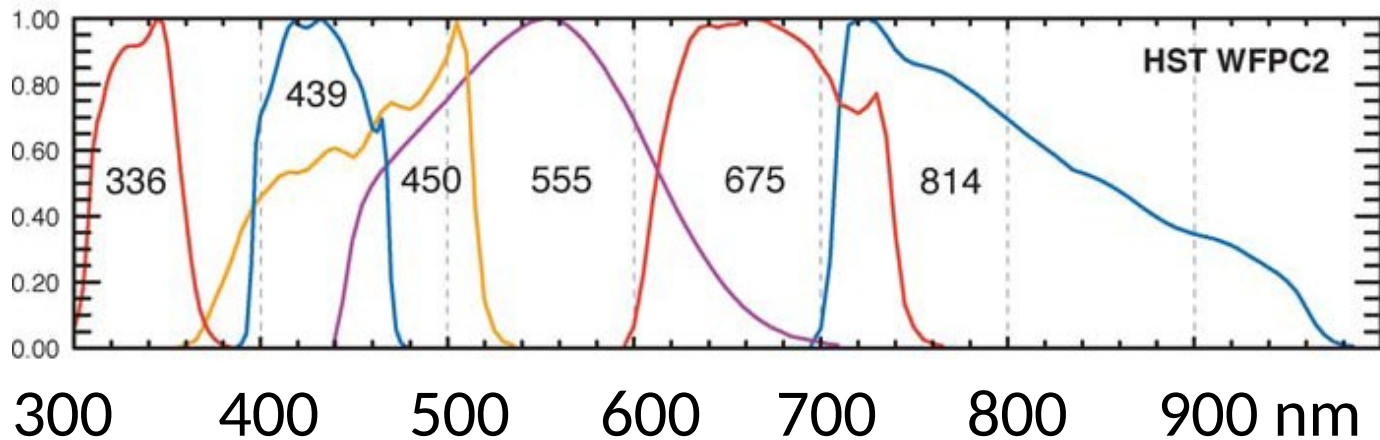
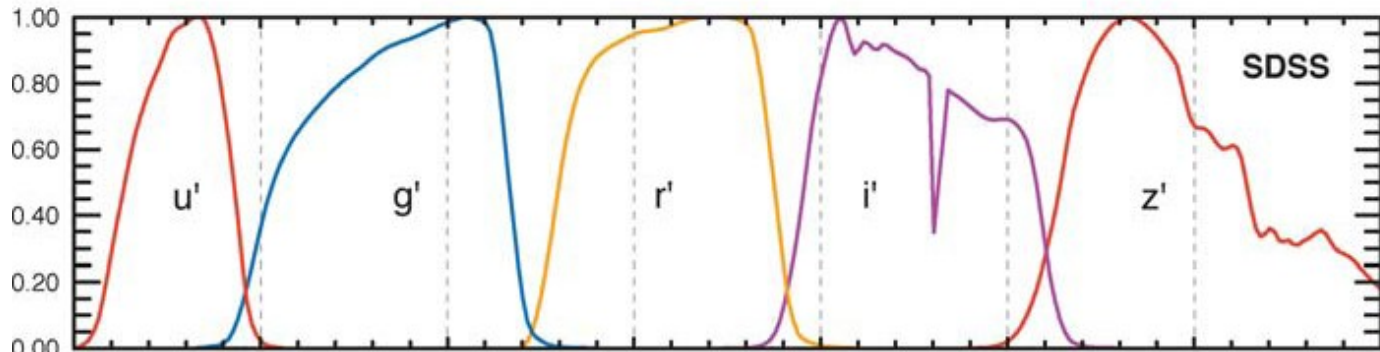
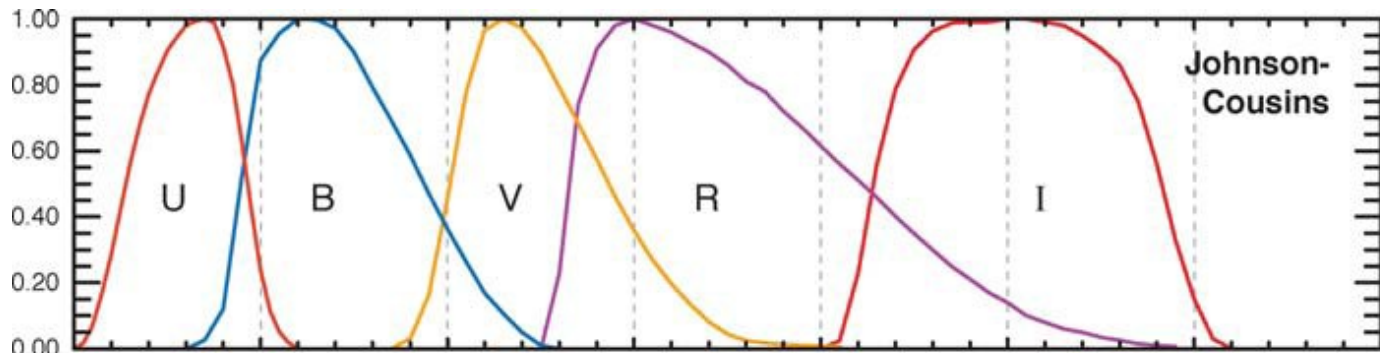
Lembrar que fluxos mais intensos são representados por magnitudes menores

Outros sistemas fotométricos

Índice de cor em qualquer sistema: $X - Y$

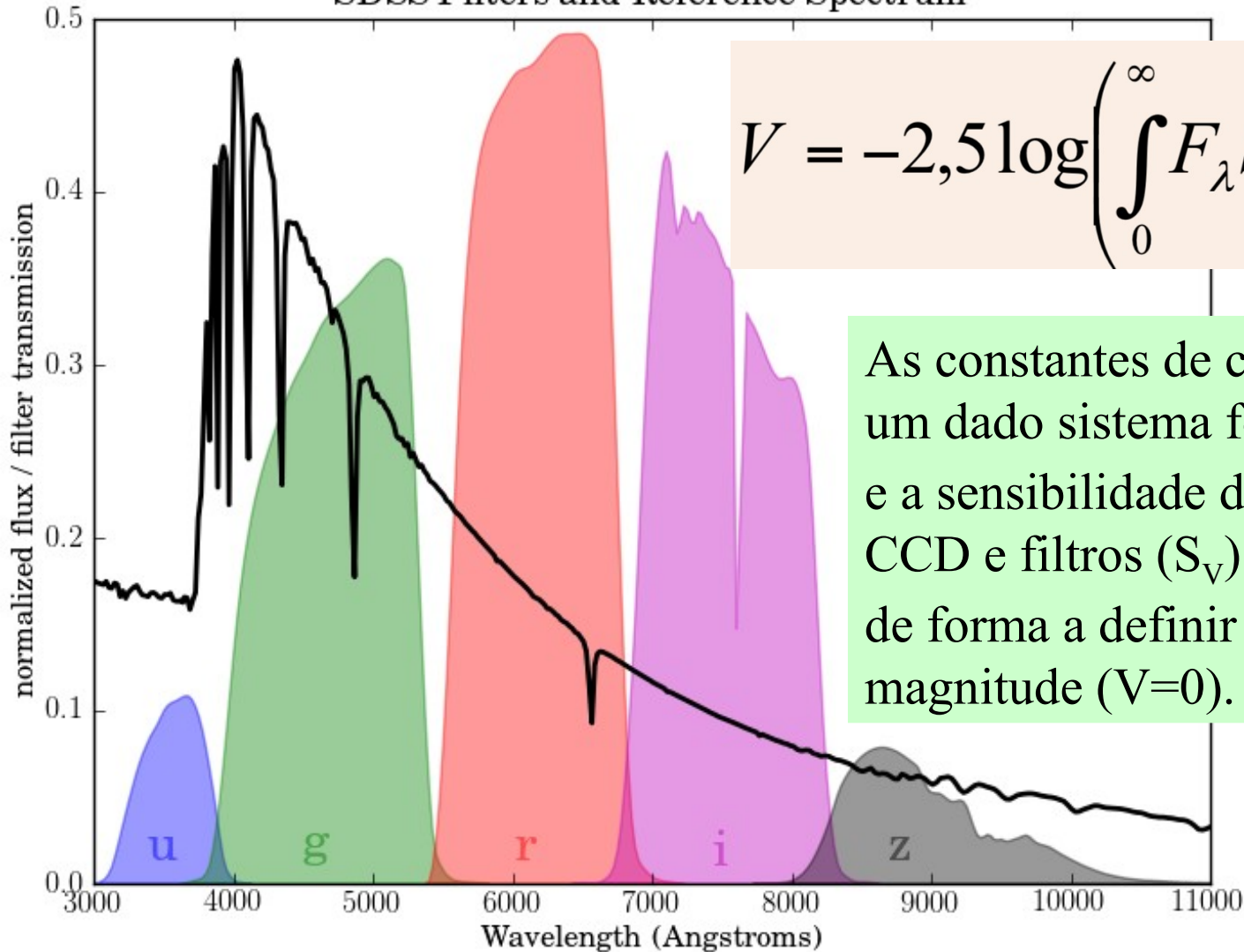
Por ex.,

- $U - B$
- $B - V$
- $V - R$
- $u' - g'$
- $g' - i'$
- $336 - 439$



Normalmente os sistemas fotométricos são definidos baseados em $m = 0$ para Vega

SDSS Filters and Reference Spectrum



$$V = -2,5 \log \left(\int_0^{\infty} F_{\lambda} S_V d\lambda \right) + C_V$$

As constantes de calibração de um dado sistema fotométrico (C_V) e a sensibilidade do telescópio, CCD e filtros (S_V) são escolhidos de forma a definir o zero de magnitude ($V=0$).

Magnitudes de Vega

Banda U, $m_U = U = 0,0$

Banda B, $m_B = B = 0,0$

Banda V, $m_V = V = 0,0$

Banda R, $m_R = R = 0,0$

Banda I, $m_I = I = 0,0$

Banda K (2200 nm), $m_K = K = 0,0$

Magnitudes de Vega

Banda U, $m_U = U = 0,0$

Banda B, $m_B = B = 0,0$

Banda V, $m_V = V = 0,0$

Banda R, $m_R = R = 0,0$

Banda I, $m_I = I = 0,0$

Banda K (2200 nm), $m_K = K = 0,0$

Estrelas de tipo A0 (como Vega, $T_e \sim 10\,000\text{ K}$) têm índices de cor = 0. Por exemplo, $B - V = 0,00$

THE $UBV(RI)_C$ COLORS OF THE SUN

I. RAMÍREZ¹, R. MICHEL², R. SEFAKO³, M. TUCCI MAIA^{4,5}, W. J. SCHUSTER², F. VAN WYK³,
J. MELÉNDEZ⁵, L. CASAGRANDE⁶, AND B. V. CASTILHO⁷

¹ McDonald Observatory and Department of Astronomy, University of Texas at Austin, 1 University Station, C1400 Austin, TX 78712-0259, USA

² Observatorio Astronómico Nacional, Universidad Nacional Autónoma de México, Apartado Postal 877, Ensenada, B.C., CP 22800, Mexico

³ South African Astronomical Observatory, P.O. Box 9, Observatory 7935, Cape Town, South Africa

⁴ UNIFEI, DFQ–Instituto de Ciências Exatas, Universidade Federal de Itajubá, Itajubá MG, Brazil

⁵ Departamento de Astronomia do IAG/USP, Universidade de São Paulo, Rua do Mãtao 1226, São Paulo, 05508-900 SP, Brazil

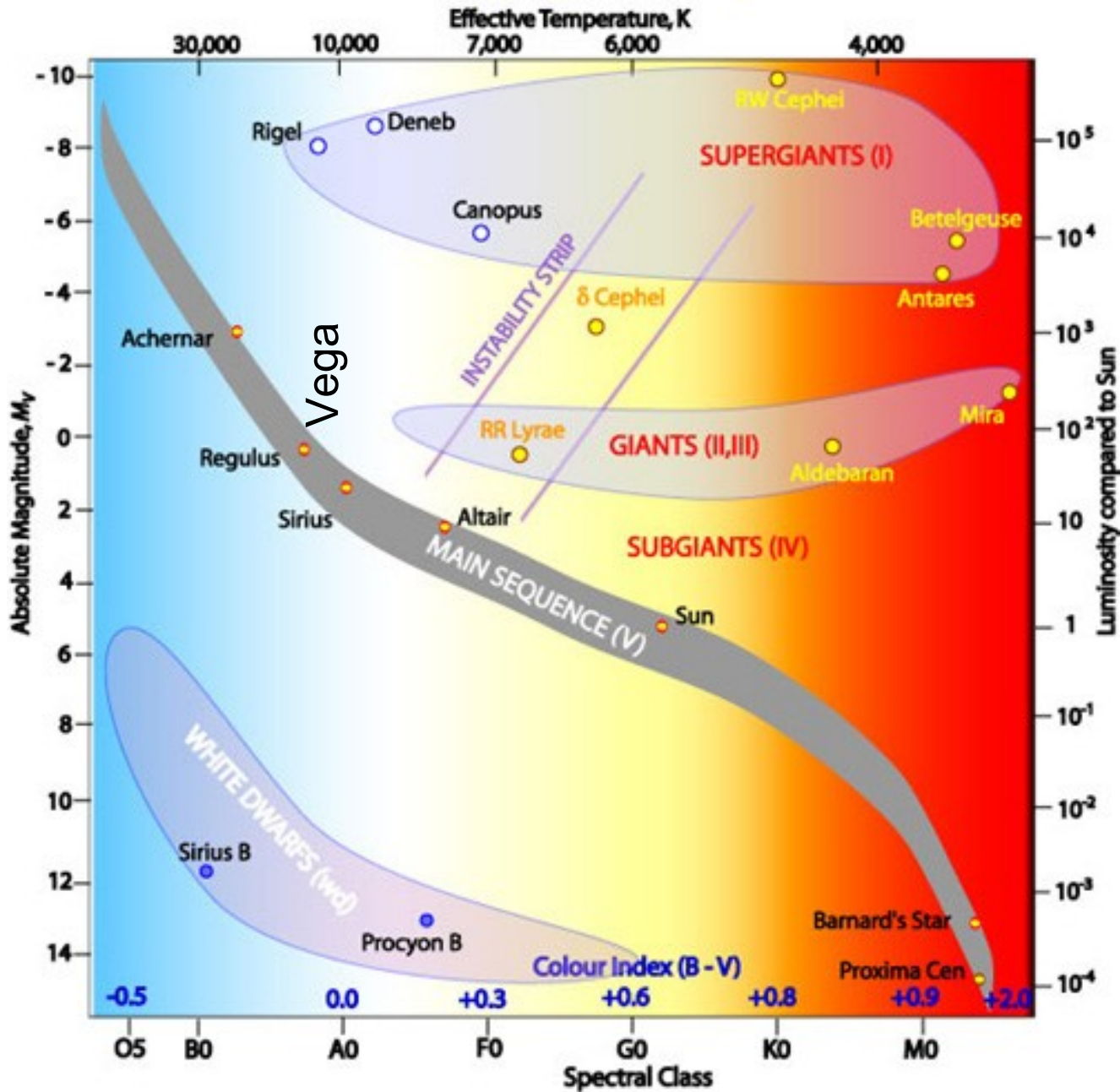
⁶ Max-Planck-Institut für Astrophysik, Karl-Schwarzschild-Str. 1, Postfach 1317, D-85741 Garching, Germany

⁷ Laboratório Nacional de Astrofísica/MCT, Rua Estados Unidos 154, 37504-364 Itajubá, MG, Brazil

$$(B - V)_{\text{Sol}} = 0,65$$

Photometric data in the $UBV(RI)_C$ system have been acquired for 80 solar analog stars for which we have previously derived highly precise atmospheric parameters T_{eff} , $\log g$, and $[\text{Fe}/\text{H}]$ using high-resolution, high signal-to-noise ratio spectra. UBV and $(RI)_C$ data for 46 and 76 of these stars, respectively, are published for the first time. Combining our data with those from the literature, colors in the $UBV(RI)_C$ system, with $\simeq 0.01$ mag precision, are now available for 112 solar analogs. Multiple linear regression is used to derive the solar colors from these photometric data and the spectroscopically derived T_{eff} , $\log g$, and $[\text{Fe}/\text{H}]$ values. To minimize the impact of systematic errors in the model-dependent atmospheric parameters, we use only the data for the 10 stars that most closely resemble our Sun, i.e., the solar twins, and derive the following solar colors: $(B - V)_{\odot} = 0.653 \pm 0.005$, $(U - B)_{\odot} = 0.166 \pm 0.022$, $(V - R)_{\odot} = 0.352 \pm 0.007$, and $(V - I)_{\odot} = 0.702 \pm 0.010$. These colors are consistent, within the 1σ errors, with those derived using the entire sample of 112 solar analogs. We also derive the solar colors using the relation between spectral-line–depth ratios and observed stellar colors, i.e., with a completely model-independent approach, and without restricting the analysis to solar twins. We find $(B - V)_{\odot} = 0.653 \pm 0.003$, $(U - B)_{\odot} = 0.158 \pm 0.009$, $(V - R)_{\odot} = 0.356 \pm 0.003$, and $(V - I)_{\odot} = 0.701 \pm 0.003$, in excellent agreement with the model-dependent analysis.

Hertzspung-Russell Diagram



Vega,
(B-V) = 0,00

Sol,
(B-V) = 0,65

Correção Bolométrica (Bolometric Correction)

A diferença entre a magnitude bolométrica (em todos os comprimentos de onda) e a magnitude aparente numa banda X (por ex., a banda V), é a Correção Bolométrica (BC_X):

$$BC_X = m_{\text{bol}} - m_X$$

Em função da magnitude absoluta:

$$BC_X = M_{\text{bol}} - M_X$$

Correção Bolométrica (Bolometric Correction)

A diferença entre a magnitude bolométrica (em todos os comprimentos de onda) e a magnitude aparente numa banda X (por ex., a banda V), é a Correção Bolométrica (BC_X):

$$BC_X = m_{\text{bol}} - m_X$$

Em função da magnitude absoluta:

$$BC_X = M_{\text{bol}} - M_X$$

Por exemplo, $BC_V = m_{\text{bol}} - V$

para a banda V : $BC_V = M_{\text{bol}} - M_V$

Correção Bolométrica (Bolometric Correction)

A diferença entre a magnitude bolométrica (em todos os comprimentos de onda) e a magnitude aparente numa banda X (por ex., a banda V), é a Correção Bolométrica (BC_X):

$$BC_X = m_{\text{bol}} - m_X$$

Em função da magnitude absoluta:

$$BC_X = M_{\text{bol}} - M_X$$

Por exemplo, $BC_V = m_{\text{bol}} - V$

para a banda V : $BC_V = M_{\text{bol}} - M_V$

Sol: $V = -26,71$ e $m_{\text{bol}} = -26,83 \rightarrow BC_V = -0,12$

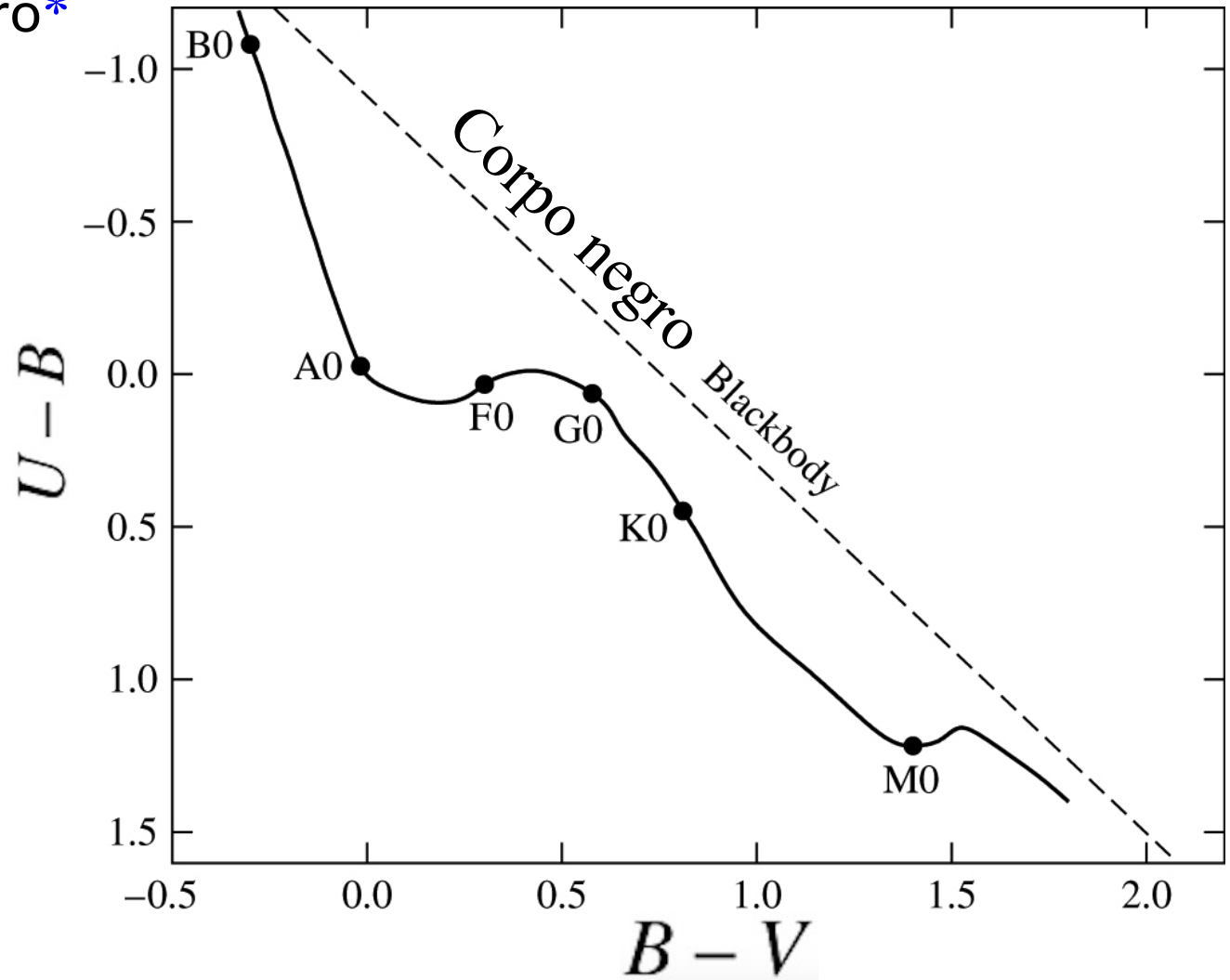
Correção Bolométrica $BC_V = M_{bol} - M_V$

Classe	Sequência Principal	Gigantes	Supergigantes
O3	-4,3	-4,2	-4,0
G0	-0,10	-0,13	-0,1
G5	-0,14	-0,34	-0,20
K0	-0,24	-0,42	-0,38
K5	-0,66	-1,19	-1,00
M0	-1,21	-1,28	-1,3

https://pt.wikipedia.org/wiki/Correção_bolométrica

Kaler, James B. (1989). “Stars and their spectra: An Introduction to the Spectral Sequence”

Diagrama Cor-Cor A relação U-B e B-V para as estrelas da Sequência Principal mostra que elas não se comportam exatamente como corpo negro*



(*) No Cap. 9 veremos que parte da luz é absorvida na atmosfera estelar